

บทที่ 4

ผลการทดลองและการวิเคราะห์ผล

ผลงานวิจัยฉบับนี้ได้ถูกออกแบบและกำหนดขั้นตอนการทดลองไว้ 3 ขั้นตอนด้วยกัน โดยมีวัตถุประสงค์ในการหาสภาวะที่เหมาะสมในกระบวนการกัดร่องเพื่อให้ได้ค่าความเที่ยงตรงของความลึกและอัตราส่วนของร่องตรงตามเป้าหมายมากที่สุด โดยการทดลองและการวิเคราะห์ผลจะสามารถแบ่งออกได้เป็น 3 ส่วนด้วยกัน คือ

1. ผลการทดลองและการวิเคราะห์การทดลองขั้นต้น
2. ผลการทดลองและการวิเคราะห์การทดลองเพื่อหาสภาวะที่เหมาะสม
3. ผลการทดลองและการวิเคราะห์ข้อมูลในส่วนของทดลองเพื่อยืนยันผล

4.1 ผลการทดลองและการวิเคราะห์การทดลองขั้นต้น

การวิเคราะห์ข้อมูลจากการทดลองเบื้องต้นด้วยหลักการวิเคราะห์ความแปรปรวน (ANOVA) ผลการทดลองเบื้องต้นอื่นเกี่ยวกับการการคัดเลือกปัจจัยที่จะศึกษาถึงผลกระทบต่อค่าความเที่ยงตรงของความลึกและอัตราส่วนของร่อง โดยอาศัยการทดลองอย่างสุ่มสมบูรณ์หรือการจำแนกทางเดียว (Complete Randomized Design; CRD หรือ One-Way ANOVA)

4.1.1 ผลการทดลองอย่างสุ่มสมบูรณ์ (Complete Randomized Design; CRD)

ปัจจัยและระดับของปัจจัยของกระบวนการกัดร่องสำหรับสปีนเดิลมอเตอร์ด้วยเครื่องกัดโลหะด้วยเคมีไฟฟ้า (Electrochemical Machining Process) ในการทดลองเป็นดังตารางที่ 4.1

ตารางที่ 4.1

ปัจจัยและระดับของปัจจัยของกระบวนการกัดร่อง

| ปัจจัย | ระดับที่ 1 | ระดับที่ 2 | ระดับที่ 3 | หน่วย |
|-------------------------------------|------------|------------|------------|---------------|
| กระแสไฟฟ้า(CC) | 8 | 9 | 10 | A |
| สัญญาณพัลส์(Pulse) | 10 | 15 | 20 | สัญญาณ/100ms |
| อัตราการทำงานต่อคาบเวลา(Duty Cycle) | 20 | 30 | 50 | % |
| ช่องว่าง(Gap) | 40 | 50 | 60 | μm |

ผลการทดสอบทางสถิติในส่วนของ การทดลองแบบสุ่มสมบูรณ์ ของปัจจัยต่างๆ โดยผลการวิเคราะห์ความแปรปรวนเพื่อทำการทำการคัดเลือกปัจจัยต่างๆ มีดังนี้

1. **กระแสไฟฟ้า (CC)** ทำการเปลี่ยนแปลง 3 ระดับ ได้แก่ ระดับที่ 1 เท่ากับ 8 A, ระดับที่ 2 เท่ากับ 9 A, ระดับที่ 3 เท่ากับ 10 A ส่วนปัจจัยอื่นๆ กำหนดที่สภาวะปัจจุบัน คือ สัญญาณพัลส์ เท่ากับ 10 สัญญาณ, อัตราการทำงานต่อคาบเวลาเท่ากับ 30% และช่องว่าง เท่ากับ 50 μm

สรุปตารางการวิเคราะห์ความแปรปรวน (ANOVA) ที่ช่วงความเชื่อมั่น (CI) 95% กรณีปัจจัย คือ กระแสไฟฟ้า

ตารางที่ 4.2

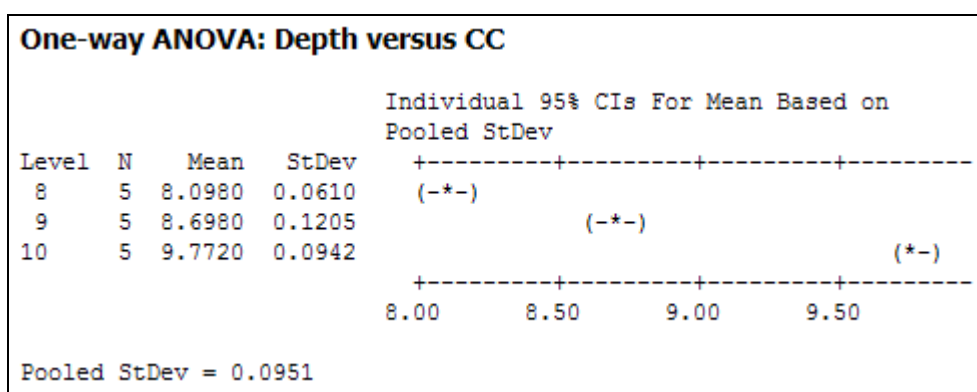
การวิเคราะห์ความแปรปรวน (ANOVA) ความลึกของร่องกรณีปัจจัยกระแสไฟฟ้า

| Source | df | Sums of Squares | Mean Squares | F-Statistic | P-value |
|------------|----|-----------------|--------------|-------------|---------|
| กระแสไฟฟ้า | 2 | 7.192 | 3.596 | 397.99 | 0.000 |
| Error | 12 | 0.108 | 0.009 | | |
| Total | 14 | 7.301 | | | |

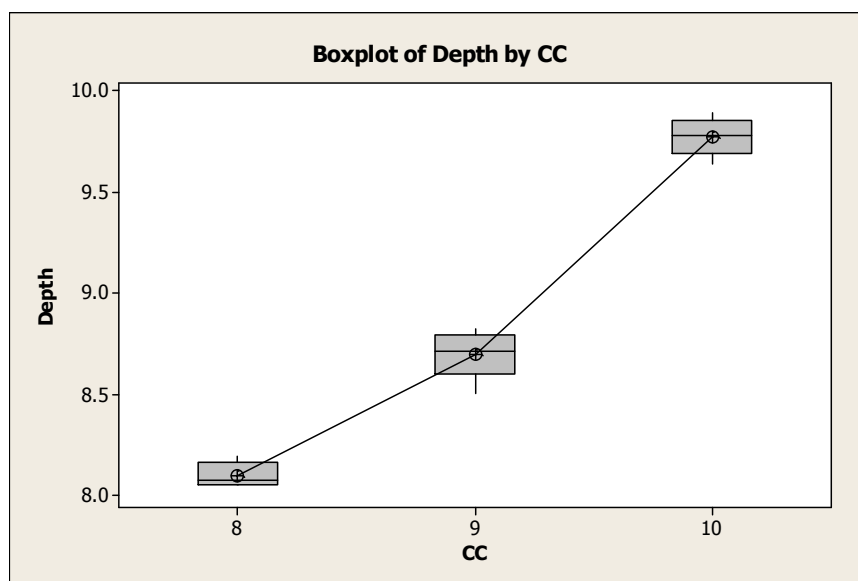
ผลการวิเคราะห์ความแปรปรวน โดย Minitab Version 14.0 แสดงความแตกต่างผลเฉลี่ยความลึกของร่องระหว่างระดับของปัจจัยกระแสไฟฟ้า

ตารางที่ 4.3

ความแตกต่างผลเฉลี่ยความลึกของร่องระหว่างระดับของปัจจัยกระแสไฟฟ้า



จากผลการวิเคราะห์ความแปรปรวน โดยใช้โปรแกรม Minitab Version 14.0 เมื่อพิจารณาค่าของ P-value ในตารางที่ 4.2 พบว่าค่า P-value ของปัจจัยกระแสไฟฟ้ามีค่าเท่ากับ 0.000 ซึ่งมีค่าน้อยกว่า α ที่กำหนด คือ 0.05 ดังนั้น สามารถสรุปได้ว่า กระแสไฟฟ้ามีอิทธิพลต่อความลึกของร่อง ในกระบวนการกัดร่องอย่างมีนัยสำคัญ



ภาพที่ 4.1

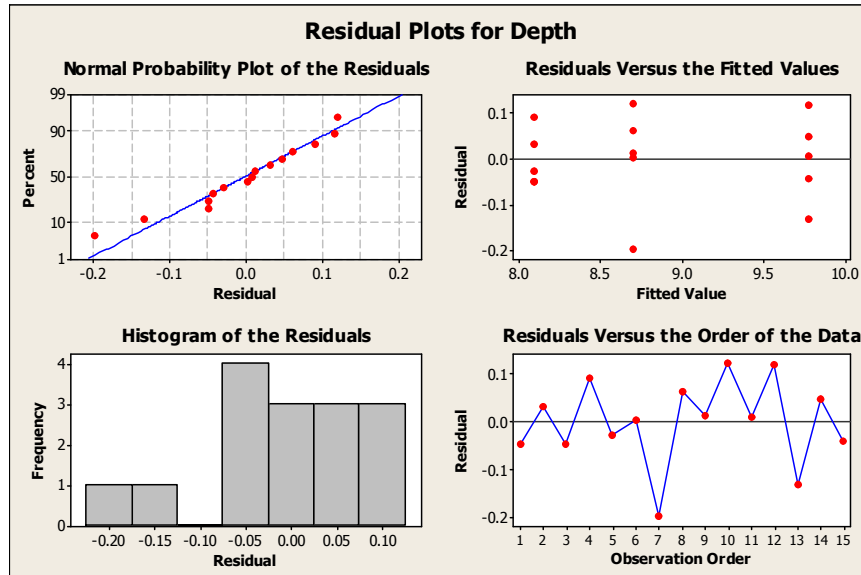
แผนภาพกล่องแสดงผลความลึกของร่องของปัจจัยกระแสไฟฟ้า

การเปรียบเทียบผลความแตกต่างของค่าเฉลี่ยจากภาพที่ 4.1 โดยแผนภาพกล่องในแต่ละระดับของปัจจัยกระแสไฟฟ้า พบว่า ค่าความลึกของร่องเพิ่มขึ้นเมื่อระดับของกระแสไฟฟ้าในการกัดร่องเพิ่มขึ้น

จากภาพที่ 4.2 พบว่า การกระจายของส่วนตกค้าง (Residuals) ของข้อมูลมีการกระจายตามแนวเส้นตรง ทำให้สรุปได้ว่า ส่วนตกค้างมีการกระจายแบบปกติ (Normal Distribution) รวมทั้งกระจายตัวของส่วนตกค้างมีรูปแบบการกระจายเป็นอิสระไม่สามารถทำนายรูปแบบได้แน่นอน แสดงให้เห็นว่า ส่วนตกค้างมีความเป็นอิสระต่อกันและค่าเฉลี่ยของส่วนตกค้างพบว่า ส่วนตกค้างในแต่ละระดับมีการกระจายในด้านบวกและลบมีความสมดุลกันจึงประมาณได้ว่าค่าเฉลี่ยของส่วนตกค้างมีค่าใกล้เคียงศูนย์

ดังนั้น ภาพที่ 4.2 เป็นการตรวจสอบความถูกต้องและความน่าเชื่อถือของตัวแบบของปัจจัยกระแสไฟฟ้าตามหลักการ $\epsilon_i \approx NID(0, \sigma^2)$ พบว่า รูปแบบของส่วนตกค้างที่ได้จาก

ข้อมูลในการทดลองเป็นไปตามหลักการทุกประการ ดังนั้น ข้อมูลของการทดลองชุดนี้มีความถูกต้องและเชื่อถือได้



ภาพที่ 4.2

การทดสอบการกระจายและความเป็นอิสระของข้อมูลความลึกของร่องของปัจจัยกระแสไฟฟ้า

ตารางที่ 4.4

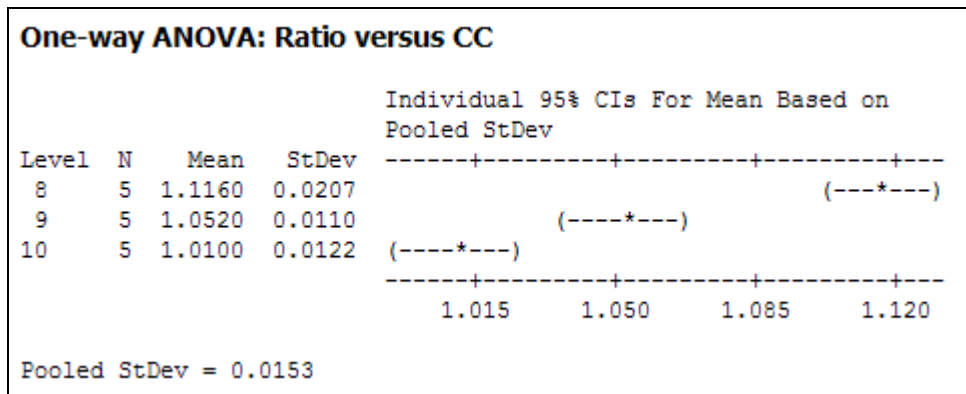
การวิเคราะห์ความแปรปรวนอัตราส่วนของร่องกรณีปัจจัยกระแสไฟฟ้า

| Source | df | Sums of Squares | Mean Squares | F-Statistic | P-value |
|------------|----|-----------------|--------------|-------------|---------|
| กระแสไฟฟ้า | 2 | 0.028 | 0.014 | 61.06 | 0.000 |
| Error | 12 | 0.002 | 0.000 | | |
| Total | 14 | 0.031 | | | |

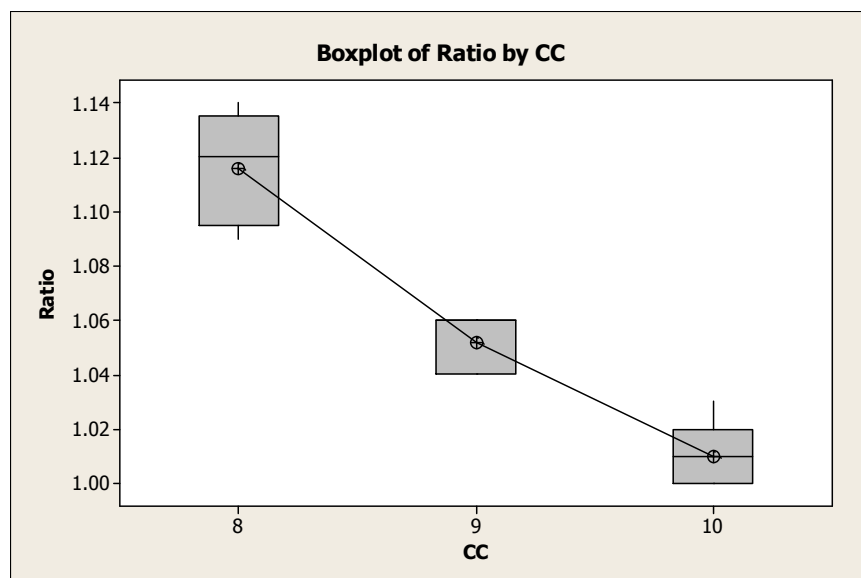
ผลการวิเคราะห์ความแปรปรวน โดย Minitab Version 14.0 แสดงความแตกต่างผลเฉลี่ยอัตราส่วนของร่องระหว่างระดับของปัจจัยกระแสไฟฟ้า

ตารางที่ 4.5

ความแตกต่างผลเฉลี่ยอัตราส่วนของร่องระหว่างระดับของปัจจัยกระแสไฟฟ้า



จากผลการวิเคราะห์ความแปรปรวนโดยใช้โปรแกรม Minitab Version 14.0 เมื่อพิจารณาค่า P-value ในตารางที่ 4.4 พบว่า ค่า P-value ของปัจจัยกระแสไฟฟ้ามีค่าเท่ากับ 0.000 ซึ่งมีค่าน้อยกว่า α ที่กำหนดคือ 0.05 ดังนั้น สามารถสรุปได้ว่า กระแสไฟฟ้ามีอิทธิพลต่ออัตราส่วนของร่องในกระบวนการกัดร่องอย่างมีนัยสำคัญ

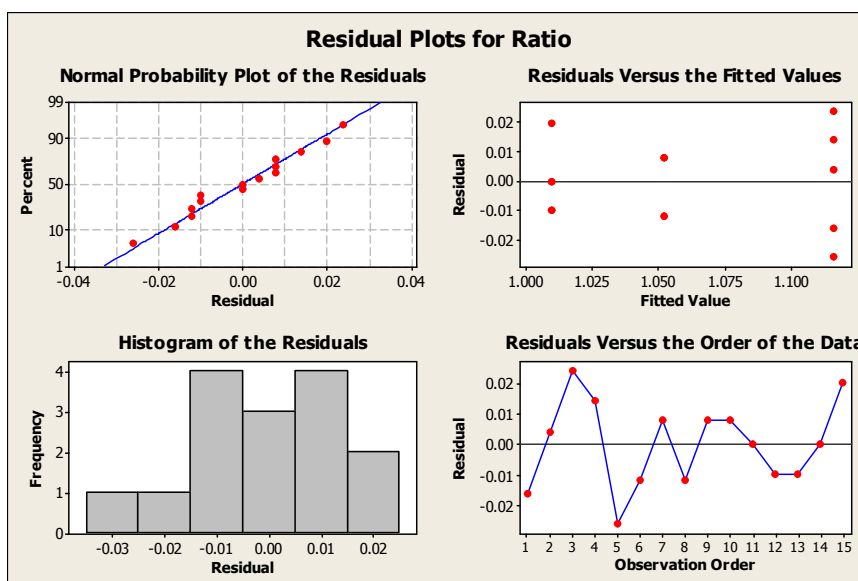


ภาพที่ 4.3

แผนภาพกล่องแสดงผลอัตราส่วนของร่องของปัจจัยกระแสไฟฟ้า

การเปรียบเทียบผลความแตกต่างของค่าเฉลี่ยจากภาพที่ 4.3 โดยแผนภาพกล่องในแต่ละระดับของปัจจัยกระแสไฟฟ้า พบว่า ค่าอัตราส่วนของร่องลดลงเมื่อระดับของกระแสไฟฟ้าในการกัดร่องเพิ่มขึ้น

จากภาพที่ 4.4 พบว่า รูปแบบของส่วนตกค้างที่ได้จากข้อมูลในการทดลองเป็นไปตามหลักการทุกประการ ดังนั้น ข้อมูลของการทดลองชุดนี้มีความถูกต้องและเชื่อถือได้



ภาพที่ 4.4

การทดสอบการกระจายและความเป็นอิสระของข้อมูลอัตราส่วนของร่องของปัจจัยกระแสไฟฟ้า

2. **สัญญาณพัลส์ (Pulse)** ทำการเปลี่ยนแปลง 3 ระดับ ได้แก่ ระดับที่ 1 เท่ากับ 10 สัญญาณ, ระดับที่ 2 เท่ากับ 15 สัญญาณ, ระดับที่ 3 เท่ากับ 30 สัญญาณ ส่วนปัจจัยอื่นๆ กำหนดที่สภาวะปัจจุบัน คือ กระแสไฟฟ้าเท่ากับ 10 A, อัตราการทำงานต่อคาบเวลาเท่ากับ 30% และช่องว่างเท่ากับ 50 μm

สรุปตารางการวิเคราะห์ความแปรปรวน (ANOVA) ที่ช่วงความเชื่อมั่น (CI) 95% กรณีปัจจัย คือ สัญญาณพัลส์

ตารางที่ 4.6

การวิเคราะห์ความแปรปรวนความลึกของร่องกรณีปัจจัยสัญญาณพัลส์

| Source | df | Sums of Squares | Mean Squares | F-Statistic | P-value |
|--------------------|----|-----------------|--------------|-------------|---------|
| สัญญาณพัลส์ | 2 | 129.98 | 64.99 | 5185.73 | 0.000 |
| Error | 12 | 0.15 | 0.01 | | |
| Total | 14 | 130.13 | | | |

ผลการวิเคราะห์ความแปรปรวน โดย Minitab Version 14.0 แสดงความแตกต่างผลเฉลี่ยความลึกของร่องระหว่างระดับของปัจจัยสัญญาณพัลส์

ตารางที่ 4.7

ความแตกต่างผลเฉลี่ยความลึกของร่องระหว่างระดับของปัจจัยสัญญาณพัลส์

| One-way ANOVA: Depth versus Pulse | | | |
|-----------------------------------|---|--------|-------|
| Level | N | Mean | StDev |
| 10 | 5 | 6.884 | 0.048 |
| 15 | 5 | 9.772 | 0.094 |
| 20 | 5 | 14.050 | 0.163 |

Individual 95% CIs For Mean Based on Pooled StDev

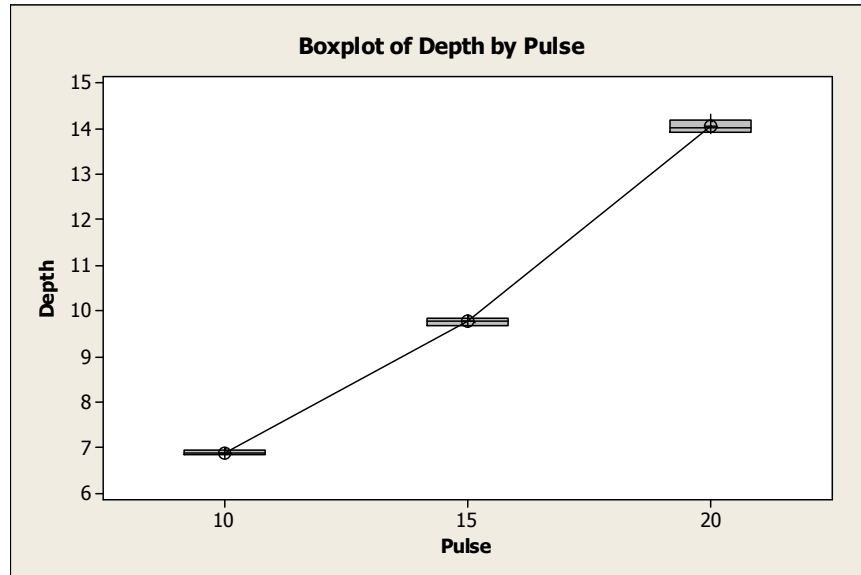
| Level | Mean | StDev | Lower CI | Upper CI |
|-------|--------|-------|----------|----------|
| 10 | 6.884 | 0.048 | 6.788 | 6.980 |
| 15 | 9.772 | 0.094 | 9.584 | 9.960 |
| 20 | 14.050 | 0.163 | 13.724 | 14.376 |

Pooled StDev = 0.112

จากผลการวิเคราะห์ความแปรปรวนโดยใช้โปรแกรม Minitab Version 14.0 เมื่อพิจารณาค่า P-value ในตารางที่ 4.6 พบว่า ค่า P-value ของปัจจัยสัญญาณพัลส์มีค่าเท่ากับ 0.000 ซึ่งมีค่าน้อยกว่า α ที่กำหนด คือ 0.05 ดังนั้น สามารถสรุปได้ว่า สัญญาณพัลส์มีอิทธิพลต่อความลึกของร่องในกระบวนการกัดร่องอย่างมีนัยสำคัญ

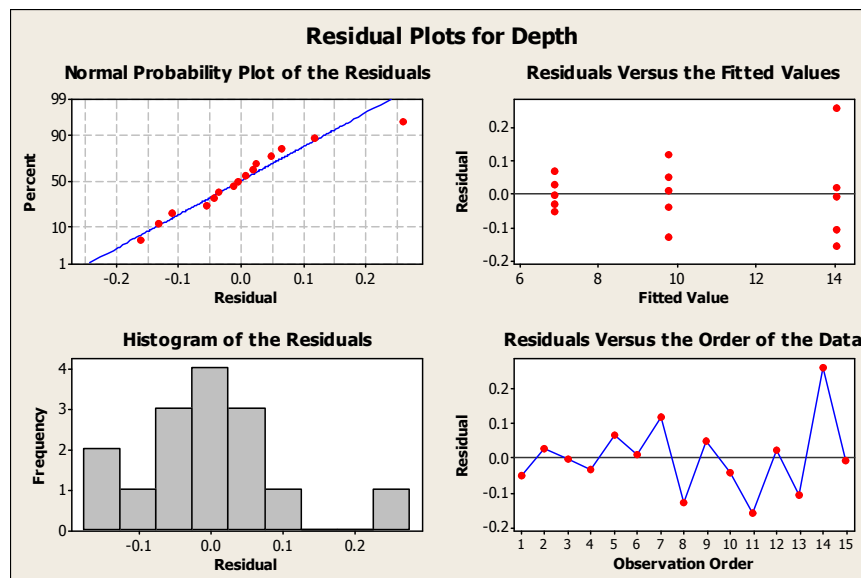
การเปรียบเทียบผลความแตกต่างของค่าเฉลี่ยจากภาพที่ 4.5 โดยแผนภาพกล่อง ในแต่ละระดับของปัจจัยสัญญาณพัลส์ พบว่า ค่าความลึกของร่องเพิ่มขึ้นเมื่อระดับของสัญญาณพัลส์ในการกัดร่องเพิ่มขึ้น

จากภาพที่ 4.6 พบว่า รูปแบบของส่วนตกค้างที่ได้จากข้อมูลในการทดลองเป็นไปตามหลักการทุกประการ ดังนั้น ข้อมูลของการทดลองชุดนี้มีความถูกต้องและเชื่อถือได้



ภาพที่ 4.5

แผนภาพกล่องแสดงผลความลึกของร่องของปัจจัยสัญญาณพัลส์



ภาพที่ 4.6

การทดสอบการกระจายและความเป็นอิสระของข้อมูลความลึกของร่องของปัจจัยสัญญาณพัลส์

ตารางที่ 4.8

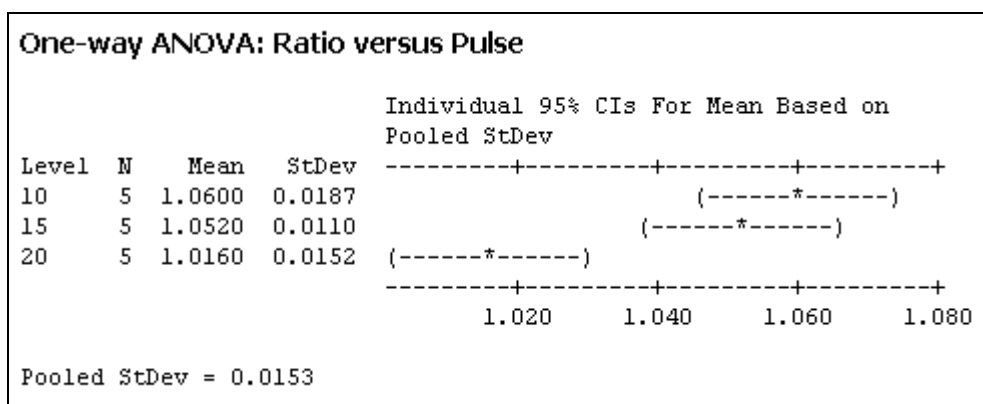
การวิเคราะห์ความแปรปรวนอัตราส่วนของร่องกรณีปัจจัยสัญญาณพัลส์

| Source | df | Sums of Squares | Mean Squares | F-Statistic | P-value |
|-------------|----|-----------------|--------------|-------------|---------|
| สัญญาณพัลส์ | 2 | 0.005 | 0.002 | 11.77 | 0.001 |
| Error | 12 | 0.002 | 0.002 | | |
| Total | 14 | 0.008 | | | |

ผลการวิเคราะห์ความแปรปรวน โดย Minitab Version 14.0 แสดงความแตกต่างผลเฉลี่ยอัตราส่วนของร่องระหว่างระดับของปัจจัยสัญญาณพัลส์

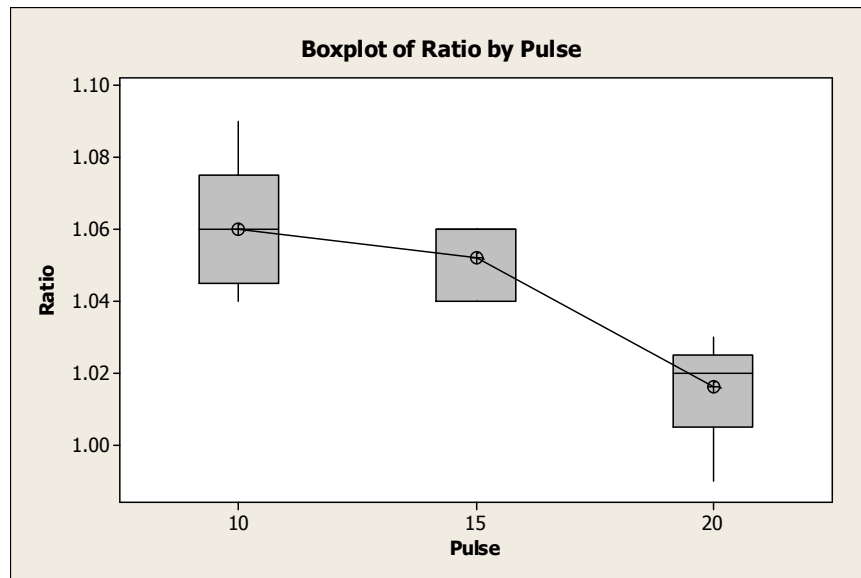
ตารางที่ 4.9

ความแตกต่างผลเฉลี่ยอัตราส่วนของร่องระหว่างระดับของปัจจัยสัญญาณพัลส์



จากผลการวิเคราะห์ความแปรปรวนโดยใช้โปรแกรม Minitab Version 14.0 เมื่อพิจารณาค่า P-value ในตารางที่ 4.8 พบว่า ค่า P-value ของปัจจัยสัญญาณพัลส์มีค่าเท่ากับ 0.001 ซึ่งมีค่าน้อยกว่า α ที่กำหนดคือ 0.05 ดังนั้น สามารถสรุปได้ว่า สัญญาณพัลส์มีอิทธิพลต่ออัตราส่วนของร่องในกระบวนการกัดร่องอย่างมีนัยสำคัญ

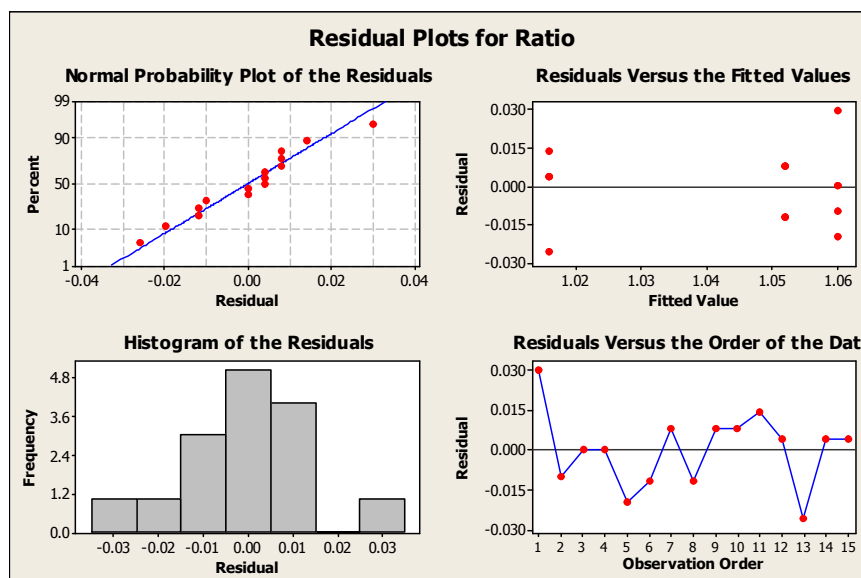
การเปรียบเทียบผลความแตกต่างของค่าเฉลี่ยจากภาพที่ 4.7 โดยแผนภาพกล่องในแต่ละระดับของปัจจัยสัญญาณพัลส์ พบว่า ค่าอัตราส่วนของร่องลดลงเมื่อระดับของสัญญาณพัลส์ในการกัดร่องเพิ่มขึ้น



ภาพที่ 4.7

แผนภาพกล่องแสดงผลอัตราส่วนของร่องของปัจจัยสัญญาณพัลส์

จากภาพที่ 4.8 พบว่า รูปแบบของส่วนตกค้างที่ได้จากข้อมูลในการทดลองเป็นไปตามหลักการทุกประการ ดังนั้น ข้อมูลของการทดลองชุดนี้มีความถูกต้องและเชื่อถือได้



ภาพที่ 4.8

การทดสอบการกระจายและความเป็นอิสระของข้อมูลอัตราส่วนของร่องของปัจจัยสัญญาณพัลส์

3. อัตราการทำงานต่อคาบเวลา (Duty Cycle) ทำการเปลี่ยนแปลง 3 ระดับ ได้แก่ ระดับที่ 1 เท่ากับ 20 เปอร์เซ็นต์, ระดับที่ 2 เท่ากับ 30 เปอร์เซ็นต์, ระดับที่ 3 เท่ากับ 50 เปอร์เซ็นต์ส่วนปัจจัยอื่น ๆ กำหนดที่สภาวะปัจจุบัน คือ กระแสไฟฟ้าเท่ากับ 10 A, สัญญาณพัลส์เท่ากับ 10 สัญญาณและช่องว่างเท่ากับ 50 μm

สรุปตารางการวิเคราะห์ความแปรปรวน (ANOVA) ที่ช่วงความเชื่อมั่น (CI) 95 % กรณีปัจจัย คือ อัตราการทำงานต่อคาบเวลา

ตารางที่ 4.10

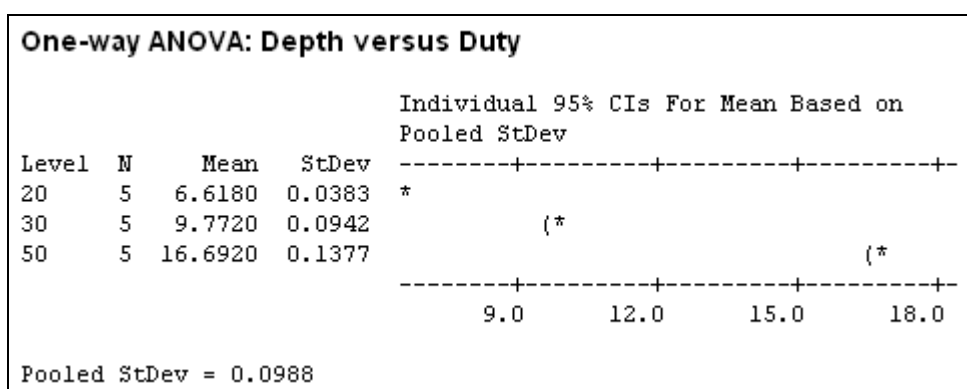
การวิเคราะห์ความแปรปรวนความลึกของร่องกรณีปัจจัยอัตราการทำงานต่อคาบเวลา

| Source | df | Sums of Squares | Mean Squares | F-Statistic | P-value |
|--------------------------------|----|-----------------|--------------|-------------|---------|
| อัตราการทำงานต่อคาบเวลา | 2 | 265.53 | 132.76 | 13589.18 | 0.000 |
| Error | 12 | 0.11 | 0.01 | | |
| Total | 14 | 265.65 | | | |

ผลการวิเคราะห์ความแปรปรวน โดย Minitab Version 14.0 แสดงความแตกต่างผลเฉลี่ยความลึกของร่องระหว่างระดับของปัจจัยอัตราการทำงานต่อคาบเวลา

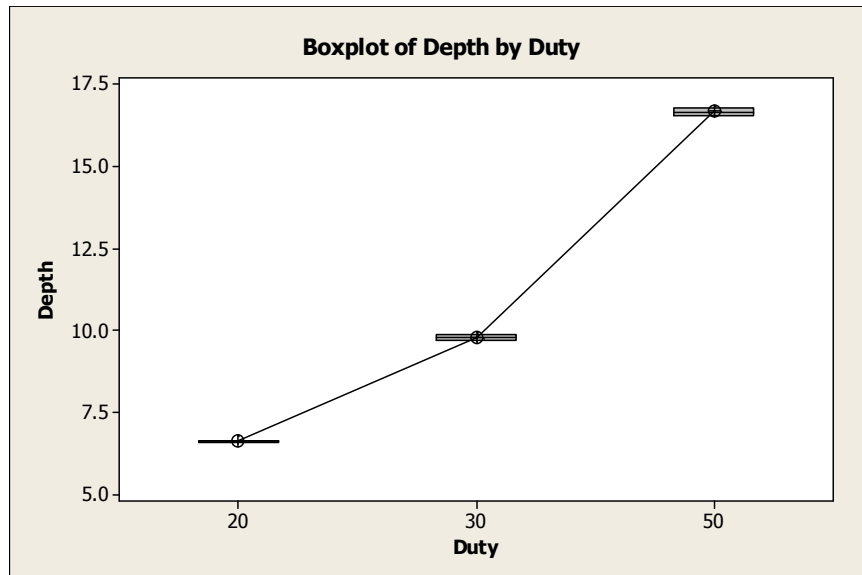
ตารางที่ 4.11

ความแตกต่างผลเฉลี่ยความลึกของร่องระหว่างระดับของปัจจัยอัตราการทำงานต่อคาบเวลา



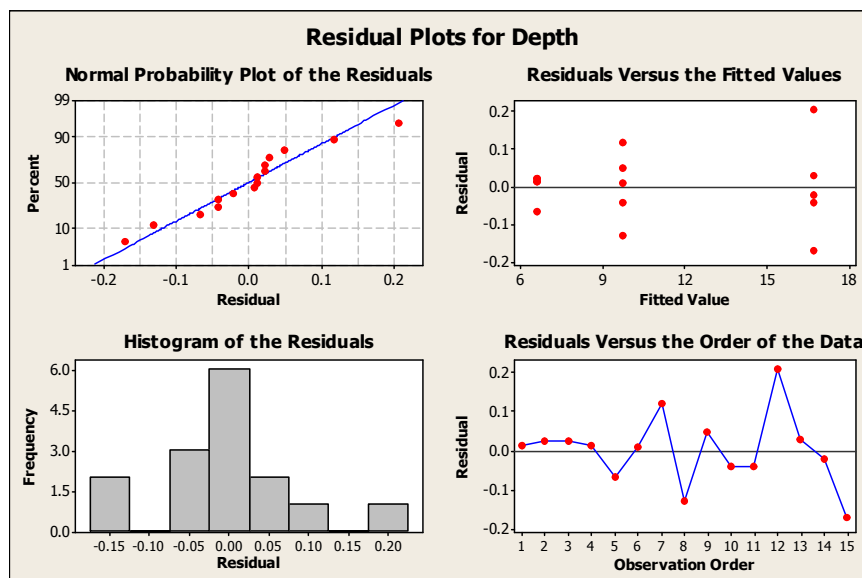
จากผลการวิเคราะห์ความแปรปรวนโดยใช้โปรแกรม Minitab Version 14.0 เมื่อพิจารณาค่า P-value ในตารางที่ 4.10 พบว่า ค่า P-value ของปัจจัยอัตราการทำงานต่อคาบเวลา

มีค่าเท่ากับ 0.000 ซึ่งมีค่าน้อยกว่า α ที่กำหนดคือ 0.05 ดังนั้น สามารถสรุปได้ว่า อัตราการ
ทำงานต่อคาบเวลามีอิทธิพลต่อความลึกของร่องในกระบวนการกัดร่องอย่างมีนัยสำคัญ



ภาพที่ 4.9

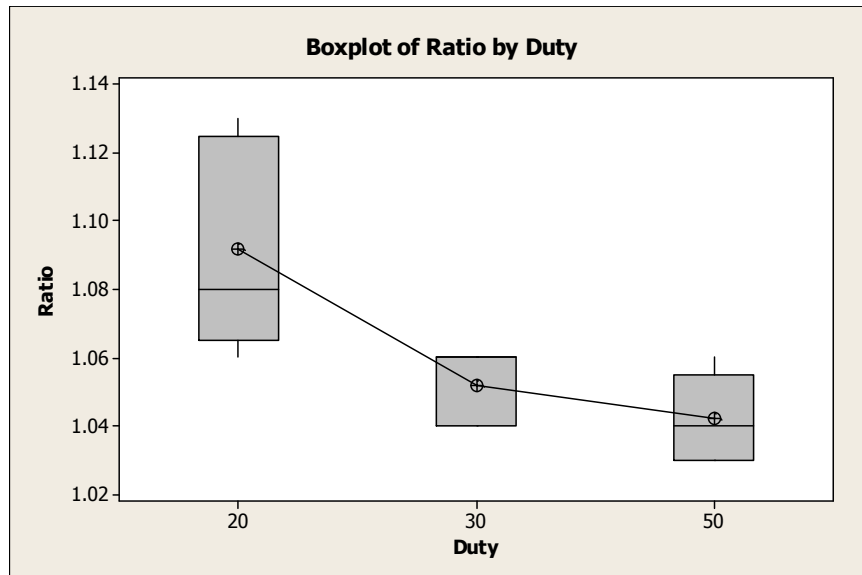
แผนภาพกล่องแสดงผลความลึกของร่องของปัจจัยอัตราการทำงานต่อคาบเวลา



ภาพที่ 4.10

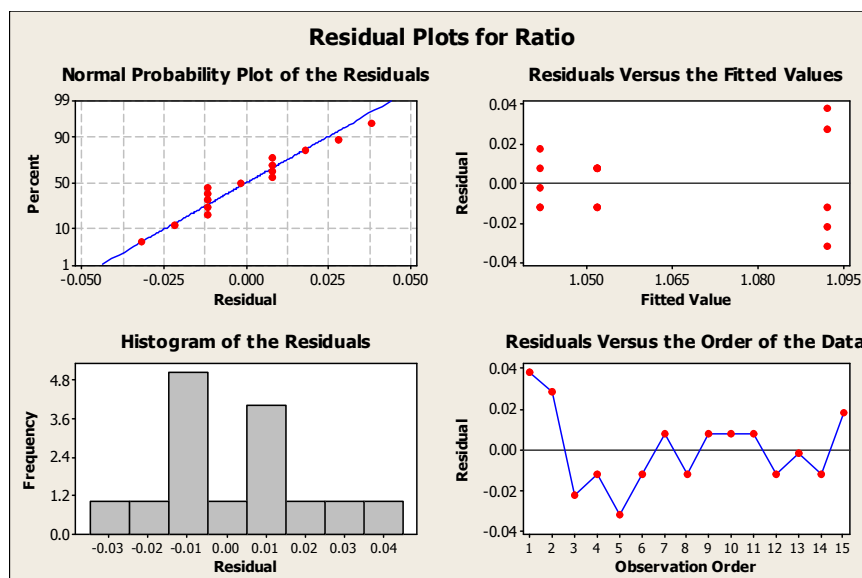
การทดสอบการกระจายและความเป็นอิสระของข้อมูลความลึกของร่องของปัจจัย
อัตราการทำงานต่อคาบเวลา

มีค่าเท่ากับ 0.005 ซึ่งมีค่าน้อยกว่า α ที่กำหนดคือ 0.05 ดังนั้น สามารถสรุปได้ว่า อัตราการ
ทำงานต่อคาบเวลามีอิทธิพลต่ออัตราส่วนของร่องในกระบวนการกัดร่องอย่างมีนัยสำคัญ



ภาพที่ 4.11

แผนภาพกล่องแสดงผลอัตราส่วนของร่องของปัจจัยอัตราการการทำงานต่อคาบเวลา



ภาพที่ 4.12

การทดสอบการกระจายและความเป็นอิสระของข้อมูลอัตราส่วนของร่องของปัจจัย
อัตราการการทำงานต่อคาบเวลา

การเปรียบเทียบผลความแตกต่างของค่าเฉลี่ยจากภาพที่ 4.11 โดยแผนภาพกล่อง ในแต่ละระดับของปัจจัยอัตราการทำงานต่อคาบเวลาพบว่า ค่าอัตราส่วนของร่องลดลงเมื่อระดับของอัตราการทำงานต่อคาบเวลาในการกัดร่องเพิ่มขึ้น

จากภาพที่ 4.12 พบว่ารูปแบบของส่วนตกค้างที่ได้จากข้อมูลในการทดลองเป็นไปตามหลักการทุกประการ ดังนั้น ข้อมูลของการทดลองชุดนี้มีความถูกต้องและเชื่อถือได้

4. ช่องว่าง (Gap) ทำการเปลี่ยนแปลง 3 ระดับ ได้แก่ ระดับที่ 1 เท่ากับ 40 μm , ระดับที่ 2 เท่ากับ 50 μm , ระดับที่ 3 เท่ากับ 60 μm ส่วนปัจจัยอื่น ๆ กำหนดที่สภาวะปัจจุบัน คือ กระแสไฟฟ้า เท่ากับ 10 A, อัตราการทำงานต่อคาบเวลาเท่ากับ 30% และสัญญาณพัลส์เท่ากับ 10 สัญญาณ

สรุปตารางการวิเคราะห์ความแปรปรวน (ANOVA) ที่ช่วงความเชื่อมั่น (CI) 95 % กรณีปัจจัย คือ ช่องว่าง

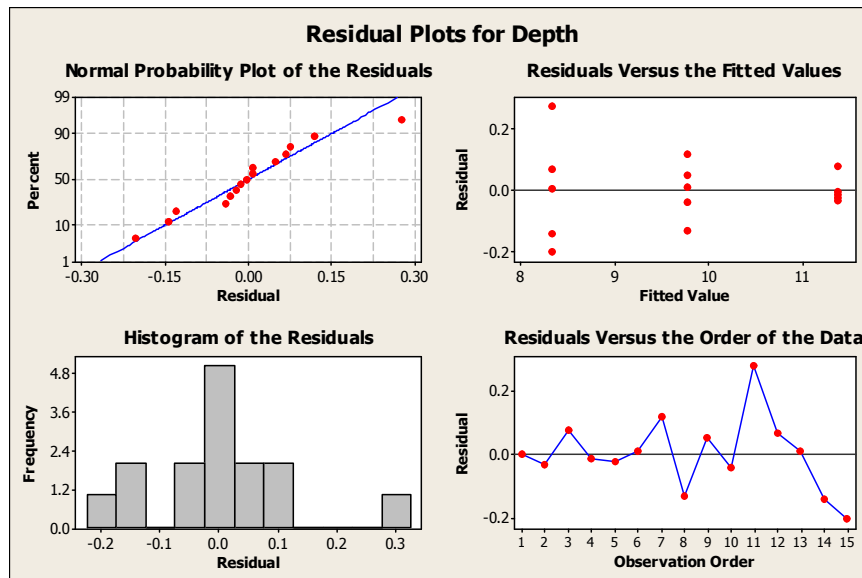
ตารางที่ 4.14

การวิเคราะห์ความแปรปรวนความลึกของร่องกรณีปัจจัยช่องว่าง

| Source | df | Sums of Squares | Mean Squares | F-Statistic | P-value |
|-----------------|----|-----------------|--------------|-------------|---------|
| ช่องว่าง | 2 | 23.126 | 11.563 | 745.53 | 0.000 |
| Error | 12 | 0.186 | 0.015 | | |
| Total | 14 | 230.312 | | | |

จากผลการวิเคราะห์ความแปรปรวนโดยใช้โปรแกรม Minitab Version 14.0 เมื่อพิจารณาค่า P-value ในตารางที่ 4.14 พบว่า ค่า P-value ของปัจจัยช่องว่างมีค่าเท่ากับ 0.000 ซึ่งมีค่าน้อยกว่า α ที่กำหนด คือ 0.05 ดังนั้น สามารถสรุปได้ว่า ช่องว่างมีอิทธิพลต่อความลึกของร่องในกระบวนการกัดร่องอย่างมีนัยสำคัญ

ผลการวิเคราะห์ความแปรปรวน โดย Minitab Version 14.0 แสดงความแตกต่างผลเฉลี่ยความลึกของร่องระหว่างระดับของปัจจัยช่องว่าง



ภาพที่ 4.14

การทดสอบการกระจายและความเป็นอิสระของข้อมูลความลึกของร่องของปัจจัยช่องว่าง

ตารางที่ 4.16

การวิเคราะห์ความแปรปรวนอัตราส่วนของร่องกรณีปัจจัยช่องว่าง

| Source | df | Sums of Squares | Mean Squares | F-Statistic | P-value |
|-----------------|----|-----------------|--------------|-------------|---------|
| ช่องว่าง | 2 | 0.417 | 0.208 | 814.05 | 0.000 |
| Error | 12 | 0.003 | 0.000 | | |
| Total | 14 | 0.420 | | | |

จากผลการวิเคราะห์ความแปรปรวนโดยใช้โปรแกรม Minitab Version 14.0 เมื่อพิจารณาค่า P-value ในตารางที่ 4.14 พบว่า ค่า P-value ของปัจจัยช่องว่าง มีค่าเท่ากับ 0.005 ซึ่งมีค่าน้อยกว่า α ที่กำหนดคือ 0.05 ดังนั้น สรุปได้ว่า ช่องว่างมีอิทธิพลต่ออัตราส่วนของร่องในกระบวนการกัดร่องอย่างมีนัยสำคัญ

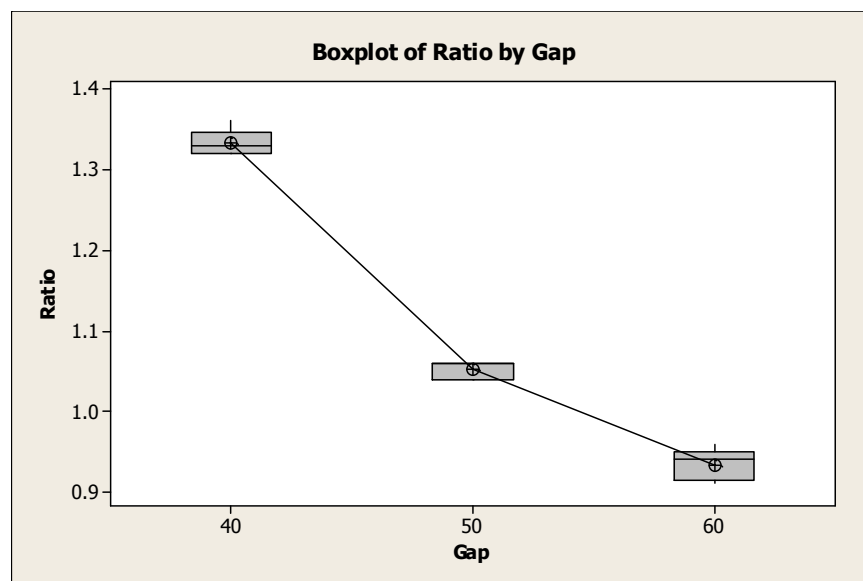
ผลการวิเคราะห์ความแปรปรวน โดย Minitab Version 14.0 แสดงความแตกต่างผลเฉลี่ยอัตราส่วนของร่องระหว่างระดับของช่องว่าง

ตารางที่ 4.17

ความแตกต่างผลเฉลี่ยอัตราส่วนของร่องระหว่างระดับของปัจจัยช่องว่าง

| One-way ANOVA: Ratio versus Gap | | | | Individual 95% CIs For Mean Based on Pooled StDev | | | | |
|---------------------------------|---|--------|--------|---|------|------|------|--|
| Level | N | Mean | StDev | -----+-----+-----+-----+----- | | | | |
| 40 | 5 | 1.3320 | 0.0164 | -----+-----+-----+-----+----- (*) | | | | |
| 50 | 5 | 1.0520 | 0.0110 | -----+-----+-----+-----+----- (-*) | | | | |
| 60 | 5 | 0.9340 | 0.0195 | -----+-----+-----+-----+----- (*) | | | | |
| | | | | -----+-----+-----+-----+----- | | | | |
| | | | | 0.96 | 1.08 | 1.20 | 1.32 | |

Pooled StDev = 0.0160

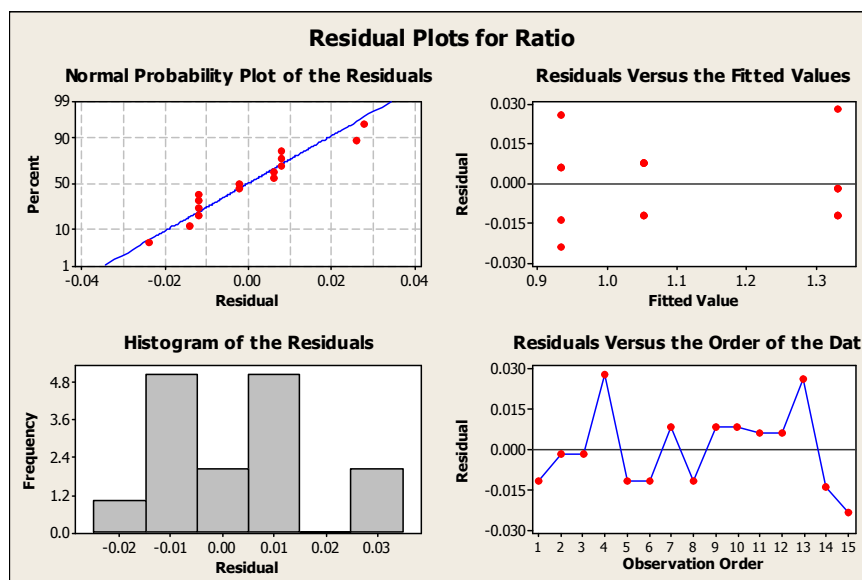


ภาพที่ 4.15

แผนภาพกล่องแสดงผลอัตราส่วนของร่องของปัจจัยช่องว่าง

การเปรียบเทียบผลความแตกต่างของค่าเฉลี่ยจากภาพที่ 4.15 โดยแผนภาพกล่อง ในแต่ละระดับของปัจจัยช่องว่างพบว่า ค่าอัตราส่วนของร่องลดลงเมื่อระดับของช่องว่างในการกัดร่องเพิ่มขึ้น

จากภาพที่ 4.16 พบว่า รูปแบบของส่วนตกค้างที่ได้จากข้อมูลในการทดลองเป็นไปตามหลักการทุกประการ ดังนั้น ข้อมูลของการทดลองชุดนี้มีความถูกต้องและเชื่อถือได้



ภาพที่ 4.16

การทดสอบการกระจายและความเป็นอิสระของข้อมูลอัตราส่วนของร่องของปัจจัยช่องว่าง

4.1.2 การวิเคราะห์กราฟความน่าจะเป็นแจกแจงปกติของผลกระทบของปัจจัยและความสัมพันธ์ระหว่างปัจจัย

ในการยืนยันผลความมีนัยสำคัญของปัจจัย โดยการวิเคราะห์ความแปรปรวนเพื่อค้นหาค่าความเที่ยงตรงของความลึกและอัตราส่วนของร่อง รวมถึงผลกระทบร่วม โดยใช้หลักการวิเคราะห์ด้วยการเขียนกราฟความน่าจะเป็นการแจกแจงปกติสำหรับผลกระทบของปัจจัยและความสัมพันธ์ระหว่างปัจจัย (Normal Probability Plot of the Standardized Effects)

โดยทำการทดลองเชิงแฟคทอเรียล 2^K (2^K Factorial Experiment) ของปัจจัย กระแสไฟฟ้า (Current) สัญญาณพัลส์ (Pulse) อัตราการทำงานต่อคาบเวลา (Duty cycle) และระยะห่างระหว่างอิเล็กโทรดกับสลิฟหรือช่องว่าง (Gap) ซึ่งระดับของปัจจัยที่ทำการวิเคราะห์ คือ เลือกระดับสูงสุดและระดับต่ำสุด ดังนี้

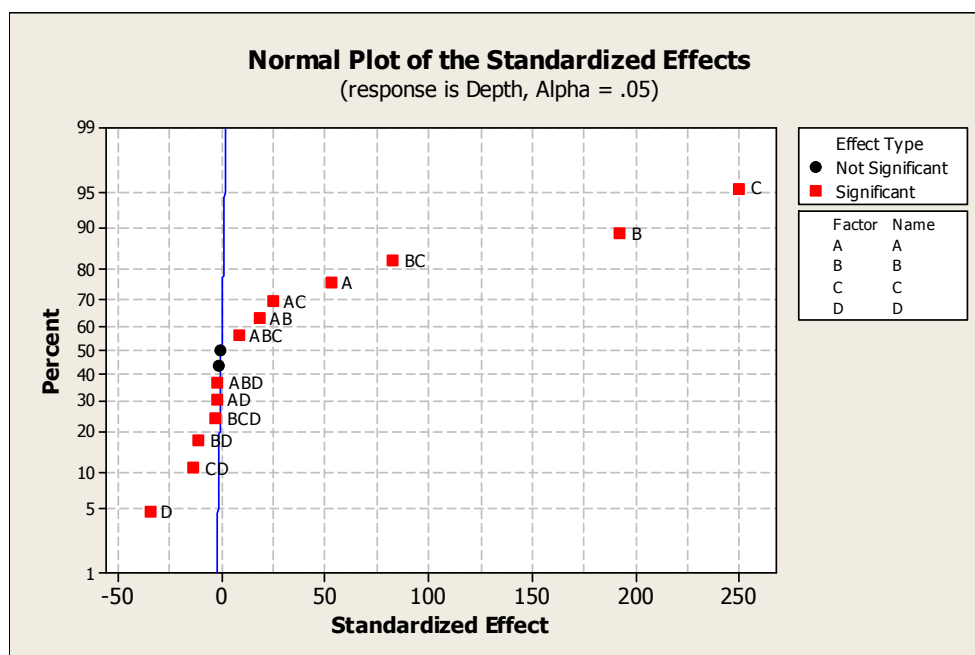
ตารางที่ 4.18

ปัจจัยและระดับของปัจจัยที่ใช้ในการทดลองวิเคราะห์ Normal Plot of the Standardized Effects

| ปัจจัย | ระดับต่ำสุด | ระดับสูงสุด | หน่วย |
|---|-------------|-------------|---------------|
| A : กระแสไฟฟ้า(CC) | 40 | 60 | A |
| B : สัญญาณพัลส์(Pulse) | 10 | 20 | สัญญาณ/100ms |
| C : อัตราการทำงานต่อคาบเวลา(Duty Cycle) | 20 | 50 | % |
| D : ช่องว่าง(Gap) | 8 | 10 | μm |

1. ผลการวิเคราะห์และการสรุปผลของกราฟความน่าจะเป็นการแจกแจงปกติ สำหรับผลกระทบของปัจจัยและความสัมพันธ์ระหว่างปัจจัยต่อค่าความลึกของร่อง

ค่าความลึกของร่องของการทดลองเชิงแฟคทอเรียล 2^k ของแต่ละปัจจัยได้นำมา วิเคราะห์ความแปรปรวนและแสดงผลในภาพที่ 4.17 และตารางที่ 4.19 พบว่า มีเพียงอันตรกิริยา ของ ACD และ ABCD เท่านั้นที่ไม่มีอิทธิพลหรือนัยสำคัญต่อค่าความลึกของร่อง นอกเหนือจาก นั้น ทุกปัจจัยหลักและอันตรกิริยามีอิทธิพลอย่างมีนัยสำคัญในช่วงความเชื่อมั่น 95% โดย ปัจจัยหลัก D จะมีอิทธิพลในทางลบ ส่วนปัจจัยหลัก A, B, C จะมีอิทธิพลในทางบวก



ภาพที่ 4.17

Normal Probability Plot of Standard Effect ของแต่ละปัจจัยต่อค่าความลึกของร่อง

ตารางที่ 4.19

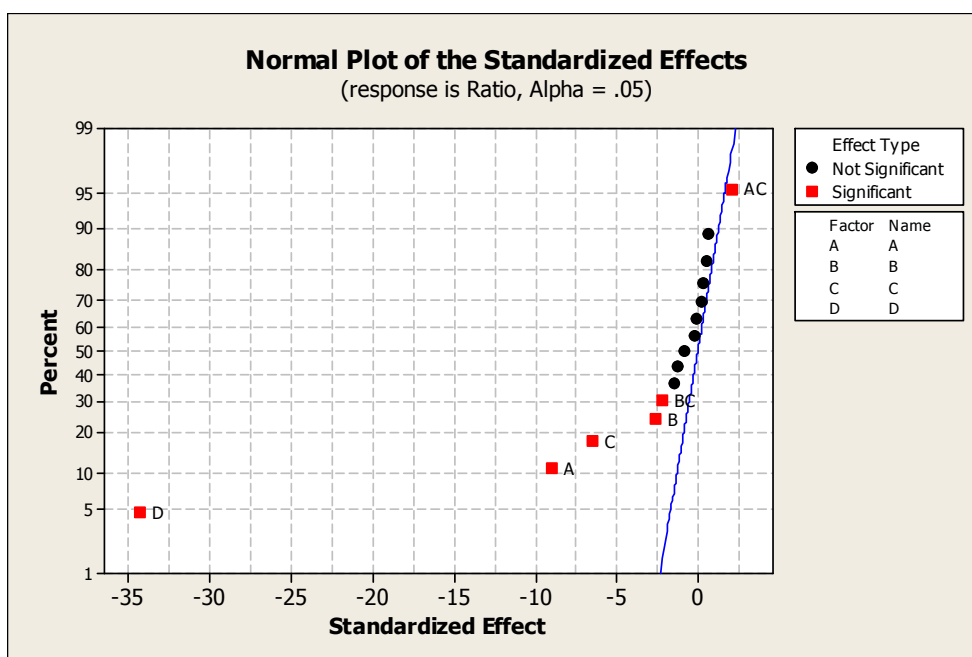
ผลการวิเคราะห์ความแปรปรวนของทดลอง 2^k ของแต่ละปัจจัยต่อค่าความลึกของร่อง

| Factorial Fit: Depth versus A, B, C, D | | | | | | |
|--|---------|---------|---------|---------|----------|-------|
| Estimated Effects and Coefficients for Depth (coded units) | | | | | | |
| Term | Effect | Coef | SE Coef | T | P | |
| Constant | | 11.5098 | 0.01999 | 575.74 | 0.000 | |
| A | 2.1187 | 1.0594 | 0.01999 | 52.99 | 0.000 | |
| B | 7.7071 | 3.8535 | 0.01999 | 192.76 | 0.000 | |
| C | 10.0129 | 5.0065 | 0.01999 | 250.43 | 0.000 | |
| D | -1.3846 | -0.6923 | 0.01999 | -34.63 | 0.000 | |
| A*B | 0.7329 | 0.3665 | 0.01999 | 18.33 | 0.000 | |
| A*C | 0.9971 | 0.4985 | 0.01999 | 24.94 | 0.000 | |
| A*D | -0.0971 | -0.0485 | 0.01999 | -2.43 | 0.021 | |
| B*C | 3.3171 | 1.6585 | 0.01999 | 82.96 | 0.000 | |
| B*D | -0.4404 | -0.2202 | 0.01999 | -11.02 | 0.000 | |
| C*D | -0.5429 | -0.2715 | 0.01999 | -13.58 | 0.000 | |
| A*B*C | 0.3313 | 0.1656 | 0.01999 | 8.28 | 0.000 | |
| A*B*D | -0.0829 | -0.0415 | 0.01999 | -2.07 | 0.046 | |
| A*C*D | -0.0571 | -0.0285 | 0.01999 | -1.43 | 0.163 | |
| B*C*D | -0.1087 | -0.0544 | 0.01999 | -2.72 | 0.010 | |
| A*B*C*D | -0.0029 | -0.0015 | 0.01999 | -0.07 | 0.942 | |
| S = 0.138504 PRESS = 1.3812 | | | | | | |
| R-Sq = 99.97% R-Sq(pred) = 99.94% R-Sq(adj) = 99.96% | | | | | | |
| Analysis of Variance for Depth (coded units) | | | | | | |
| Source | DF | Seq SS | Adj SS | Adj MS | F | P |
| Main Effects | 4 | 1992.77 | 1992.77 | 498.191 | 25970.01 | 0.000 |
| 2-Way Interactions | 6 | 156.39 | 156.39 | 26.065 | 1358.74 | 0.000 |
| 3-Way Interactions | 4 | 1.58 | 1.58 | 0.395 | 20.59 | 0.000 |
| 4-Way Interactions | 1 | 0.00 | 0.00 | 0.000 | 0.01 | 0.942 |
| Residual Error | 32 | 0.61 | 0.61 | 0.019 | | |
| Pure Error | 32 | 0.61 | 0.61 | 0.019 | | |
| Total | 47 | 2151.35 | | | | |

จากผลการวิเคราะห์ความแปรปรวนพบว่า ทุกๆ ปัจจัยหลัก อันได้แก่ กระแสไฟฟ้า สัญญาณพัลส์ อัตราการทำงานต่อคาบเวลาและช่องว่างมีอิทธิพลอย่างมากต่อค่าความลึกของร่องและสามารถยืนยันได้ว่า แต่ละปัจจัยที่เลือกสำหรับทำการศึกษานั้นมีอิทธิพลอย่างมีนัยสำคัญต่อค่าความลึกของร่องอันนำไปสู่การวิเคราะห์ระดับที่เหมาะสมในขั้นตอนต่อไป

2. ผลการวิเคราะห์และการสรุปผลของกราฟความน่าจะเป็นการแจกแจงปกติ สำหรับผลกระทบของปัจจัย และความสัมพันธ์ระหว่างปัจจัยต่อค่าอัตราส่วนของร่อง

ค่าอัตราส่วนของร่องของการทดลองเชิงแฟคทอเรียล 2^k ของแต่ละปัจจัยได้นำมา วิเคราะห์ความแปรปรวนและแสดงผลในภาพที่ 4.18 และตารางที่ 4.20 ปัจจัยหลัก A, B, C, D และอันตรกิริยา BC มีอิทธิพลทางลบอย่างมีนัยสำคัญในช่วงความเชื่อมั่น 95% อันตรกิริยา CD มี อิทธิพลทางบวกอย่างมีนัยสำคัญในช่วงความเชื่อมั่น 95%



ภาพที่ 4.18

Normal Probability Plot of Standard Effect ของแต่ละปัจจัยต่อค่าอัตราส่วนของร่อง

จากผลการวิเคราะห์ความแปรปรวนในตารางที่ 4.20 พบว่า ทุกๆ ปัจจัยหลัก อัน ได้แก่ กระแสไฟฟ้า สัญญาณพัลส์ อัตราการทำงานต่อคาบเวลาและช่องว่างมีอิทธิพลทางลบต่อ ค่าอัตราส่วนของร่อง

ดังนั้น สามารถยืนยันได้ว่า แต่ละปัจจัยที่เลือกสำหรับทำการศึกษานั้นมีอิทธิพล อย่างมีนัยสำคัญต่อค่าอัตราส่วนของร่องอันนำไปสู่การวิเคราะห์ระดับที่เหมาะสมในขั้นตอนต่อไป

ตารางที่ 4.20

ผลการวิเคราะห์ความแปรปรวนของทดลอง 2^k ของแต่ละปัจจัยต่อค่าอัตราส่วนของร่อง

| Factorial Fit: Ratio versus A, B, C, D | | | | | | |
|--|----------|----------|----------|----------|--------|-------|
| Estimated Effects and Coefficients for Ratio (coded units) | | | | | | |
| Term | Effect | Coef | SE Coef | T | P | |
| Constant | | 0.94312 | 0.002826 | 333.73 | 0.000 | |
| A | -0.05042 | -0.02521 | 0.002826 | -8.92 | 0.000 | |
| B | -0.01458 | -0.00729 | 0.002826 | -2.58 | 0.015 | |
| C | -0.03625 | -0.01813 | 0.002826 | -6.41 | 0.000 | |
| D | -0.19375 | -0.09687 | 0.002826 | -34.28 | 0.000 | |
| A*B | -0.00458 | -0.00229 | 0.002826 | -0.81 | 0.423 | |
| A*C | 0.01208 | 0.00604 | 0.002826 | 2.14 | 0.040 | |
| A*D | 0.00125 | 0.00063 | 0.002826 | 0.22 | 0.826 | |
| B*C | -0.01208 | -0.00604 | 0.002826 | -2.14 | 0.040 | |
| B*D | -0.00792 | -0.00396 | 0.002826 | -1.40 | 0.171 | |
| C*D | 0.00208 | 0.00104 | 0.002826 | 0.37 | 0.715 | |
| A*B*C | -0.00708 | -0.00354 | 0.002826 | -1.25 | 0.219 | |
| A*B*D | 0.00375 | 0.00188 | 0.002826 | 0.66 | 0.512 | |
| A*C*D | -0.00125 | -0.00062 | 0.002826 | -0.22 | 0.826 | |
| B*C*D | 0.00292 | 0.00146 | 0.002826 | 0.52 | 0.609 | |
| A*B*C*D | -0.00042 | -0.00021 | 0.002826 | -0.07 | 0.942 | |
| S = 0.0195789 PRESS = 0.0276 | | | | | | |
| R-Sq = 97.63% R-Sq(pred) = 94.66% R-Sq(adj) = 96.52% | | | | | | |
| Analysis of Variance for Ratio (coded units) | | | | | | |
| Source | DF | Seq SS | Adj SS | Adj MS | F | P |
| Main Effects | 4 | 0.499292 | 0.499292 | 0.124823 | 325.63 | 0.000 |
| 2-Way Interactions | 6 | 0.004579 | 0.004579 | 0.000763 | 1.99 | 0.096 |
| 3-Way Interactions | 4 | 0.000892 | 0.000892 | 0.000223 | 0.58 | 0.678 |
| 4-Way Interactions | 1 | 0.000002 | 0.000002 | 0.000002 | 0.01 | 0.942 |
| Residual Error | 32 | 0.012267 | 0.012267 | 0.000383 | | |
| Pure Error | 32 | 0.012267 | 0.012267 | 0.000383 | | |
| Total | 47 | 0.517031 | | | | |

4.2 ผลการทดลองและการวิเคราะห์การทดลองเพื่อหาสภาวะที่เหมาะสม

4.2.1 ระบุแผนการทดลองแบบ Orthogonal Array ตามหลักการของทากูชิ

เพื่อเป็นการตัดสินใจการปรับเปลี่ยนระดับที่เกิดขึ้นของปัจจัยที่มีนัยสำคัญ โดยปัจจัยและระดับของปัจจัยที่ใช้การออกแบบการทดลองโดยวิธีทากูชิ แสดงดังตารางที่ 4.21

ตารางที่ 4.21

ปัจจัยและรายละเอียดของปัจจัยรวมถึงระดับที่ใช้ในการทดลองของทากูชิ

| ปัจจัย/ระดับ | ระดับที่ 1 | ระดับที่ 2 | ระดับที่ 3 | หน่วย |
|--------------------------------------|------------|------------|------------|--------------|
| กระแสไฟฟ้า (CC) | 8 | 9 | 10 | A |
| สัญญาณพัลส์ (Pulse) | 10 | 15 | 20 | สัญญาณ/100ms |
| อัตราการทำงานต่อคาบเวลา (Duty Cycle) | 20 | 30 | 40 | % |
| ช่องว่าง (Gap) | 40 | 50 | 60 | μm |

ดังนั้น จึงสามารถออกแบบตารางแสดงผลการทดลองค่าความลึกและและอัตราส่วนของร่องได้ดังตารางที่ 4.22 โดยในจำนวนการทดลองซ้ำ (Replicate) ในแต่ละการทดลองมีจำนวน 3 ครั้ง ($n=3$) เพื่อนำค่าเฉลี่ยในแต่ละการทดลองบันทึกในตารางแสดงผล อย่างไรก็ตามการออกแบบการทดลองนี้สามารถดำเนินการทดลองได้เต็มรูปแบบแฟคทอเรียลและสามารถใช้หลักการทากูชิ ออกแบบได้ตาม L_{18} Orthogonal Array เพื่อทำการวิเคราะห์ค่า Signal to Noise Ratios (S/N) ในกรณีศึกษาเป็นกรณี “Target-the-Best” หรือ “Nominal-the-Best” โดยตามสูตรคำนวณดังนี้

$$S/N_r = 10 \log \left(\frac{\bar{y}_i^2}{S_i^2} \right)$$

โดยที่

\bar{y}_i = ค่าเฉลี่ยสิ่งที่วัดได้จากการทำซ้ำครั้งที่ i

S_i^2 = ค่าความแปรปรวนของกลุ่มตัวอย่าง

ในปัจจุบันสูตร S/N ได้ปรับเปลี่ยนให้มีความแตกต่างไปตามการนำไปประยุกต์ใช้ (อ่านเพิ่มเติม Taguchi's Quality Engineering Handbook (2004) บทที่ 4)

ตารางที่ 4.22

การออกแบบการทดลอง L_{18} Orthogonal Array ที่ใช้ในการทดลองของทาคุชิ

| ลำดับ การทดลอง (Exp.No.) | ปัจจัยที่ใช้ในการออกแบบการทดลอง | | | |
|--------------------------------|---------------------------------|------------------------|-----------------------------------|-------------------|
| | A | B | C | D |
| | กระแสไฟฟ้า (CC) | สัญญาณพัลส์ (Pulse) | อัตราการทำงานต่อ คาบเวลา(Duty) | ช่องว่าง (Gap) |
| 1 | 1 | 1 | 1 | 1 |
| 2 | 1 | 2 | 2 | 2 |
| 3 | 1 | 3 | 3 | 3 |
| 4 | 2 | 1 | 1 | 2 |
| 5 | 2 | 2 | 2 | 3 |
| 6 | 2 | 3 | 3 | 1 |
| 7 | 3 | 1 | 2 | 1 |
| 8 | 3 | 2 | 3 | 2 |
| 9 | 3 | 3 | 1 | 3 |
| 10 | 1 | 1 | 3 | 3 |
| 11 | 1 | 2 | 1 | 1 |
| 12 | 1 | 3 | 2 | 2 |
| 13 | 2 | 1 | 2 | 3 |
| 14 | 2 | 2 | 3 | 1 |
| 15 | 2 | 3 | 1 | 2 |
| 16 | 3 | 1 | 3 | 2 |
| 17 | 3 | 2 | 1 | 3 |
| 18 | 3 | 3 | 2 | 1 |

ที่มา : Taguchi method and ANOVA : An approach for process parameters optimization of hard machining hardened steel, Vol.68, August 2009, 685-695

4.2.2 ผลการทดลองตามการวิธีการออกแบบของทาภูชิ

1. ค่าความลึกของร่องจากการวิธีการออกแบบของทาภูชิ

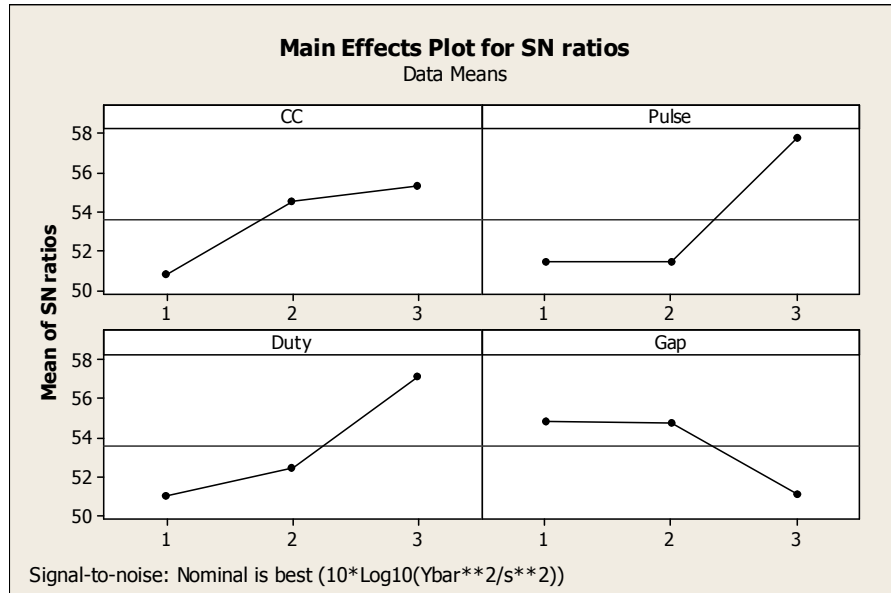
ค่าความลึกของร่องที่ได้จากการวิธีการออกแบบของทาภูชิ แสดงดังตารางที่ 4.23

ตารางที่ 4.23

ค่าความลึกของร่องที่ได้จากการวิธีการออกแบบของทาภูชิ

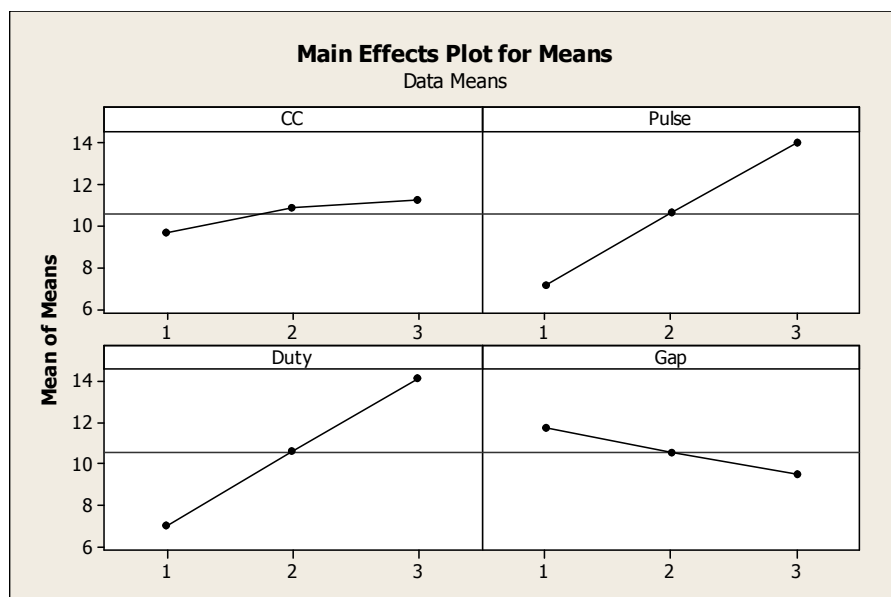
| ลำดับ การทดลอง | ค่าความลึกของร่อง (Depth, μm) | | | S/N Ratio | ค่าเฉลี่ย |
|-------------------|---|-------|-------|-----------|-----------|
| | R1 | R2 | R3 | | |
| 1 | 4.58 | 4.59 | 4.55 | 46.8364 | 4.57333 |
| 2 | 9.71 | 9.79 | 9.71 | 46.4776 | 9.73667 |
| 3 | 15.99 | 16.02 | 16.01 | 60.4063 | 16.0067 |
| 4 | 4.82 | 4.81 | 4.82 | 58.4261 | 4.81667 |
| 5 | 9.93 | 9.97 | 9.93 | 52.6807 | 9.94333 |
| 6 | 19.65 | 19.63 | 19.62 | 62.1801 | 19.6333 |
| 7 | 8.31 | 8.37 | 8.34 | 48.8809 | 8.3400 |
| 8 | 15.62 | 15.65 | 15.68 | 54.3479 | 15.6500 |
| 9 | 9.40 | 9.49 | 9.46 | 46.2864 | 9.4500 |
| 10 | 8.15 | 8.17 | 8.12 | 50.2033 | 8.14667 |
| 11 | 6.75 | 6.73 | 6.79 | 46.8943 | 6.75667 |
| 12 | 12.89 | 12.84 | 12.87 | 54.1730 | 12.8667 |
| 13 | 6.41 | 6.49 | 6.47 | 43.8113 | 6.45667 |
| 14 | 14.64 | 14.66 | 14.69 | 55.3083 | 14.6633 |
| 15 | 9.63 | 9.60 | 9.63 | 54.8923 | 9.6200 |
| 16 | 10.54 | 10.53 | 10.52 | 60.4486 | 10.5300 |
| 17 | 6.95 | 6.97 | 6.98 | 53.1807 | 6.96667 |
| 18 | 16.29 | 16.29 | 16.30 | 69.0114 | 16.2933 |

นำผลการทดลองไปวิเคราะห์หาความแปรปรวนโดยใช้โปรแกรม Minitab Version 14.0 สามารถแสดงผลปัจจัยหลักที่มีอิทธิพลต่อค่าเฉลี่ยความถี่ของร่องและปัจจัยหลักที่มีอิทธิพลหลักของต่อค่าเฉลี่ย Signal-to-Noise Ratio (S/N) ของปัจจัย ดังภาพที่ 4.19 และ 4.20 ตามลำดับ



ภาพที่ 4.19

อิทธิพลหลักของค่าเฉลี่ย Signal-to-Noise Ratio (S/N) แต่ละปัจจัยของค่าเฉลี่ยความถี่ของร่อง



ภาพที่ 4.20

อิทธิพลหลักของค่าเฉลี่ยความถี่ของร่องแต่ละปัจจัย

ตารางที่ 4.24

ค่าเฉลี่ยของ S/N ความลึกของร่อง ณ ระดับต่างๆ ของปัจจัย

| ปัจจัย | A | B | C | D |
|------------|--------------------|------------------------|---|-------------------|
| | กระแสไฟฟ้า (CC) | สัญญาณพัลส์ (Pulse) | อัตราการทำงานต่อ คาบเวลา(Duty Cycle) | ช่องว่าง (Gap) |
| ระดับที่ 1 | 50.83 | 51.43 | 51.09 | 54.85 |
| ระดับที่ 2 | 54.55 | 51.48 | 52.51 | 54.79 |
| ระดับที่ 3 | 55.36 | 57.82 | 57.15 | 51.09 |
| ผลกระทบ | 4.53 | 6.39 | 6.06 | 3.76 |
| Rank | 3 | 1 | 2 | 4 |

จากตารางที่ 4.24 สรุปได้ว่า ปัจจัยที่มีผลต่อค่า Signal-to-Noise Ratio (S/N) ของความลึกของร่อง คือ ปัจจัย B, C, A และ D ตามลำดับของ Rank

ตารางที่ 4.25

ค่าเฉลี่ยความลึกของร่อง ณ ระดับต่างๆ ของปัจจัย

| ปัจจัย | A | B | C | D |
|------------|--------------------|------------------------|---|-------------------|
| | กระแสไฟฟ้า (CC) | สัญญาณพัลส์ (Pulse) | อัตราการทำงานต่อ คาบเวลา(Duty Cycle) | ช่องว่าง (Gap) |
| ระดับที่ 1 | 9.681 | 7.144 | 7.031 | 11.710 |
| ระดับที่ 2 | 10.856 | 10.619 | 10.606 | 10.537 |
| ระดับที่ 3 | 11.205 | 13.978 | 14.105 | 9.495 |
| ผลกระทบ | 1.524 | 6.834 | 7.074 | 2.215 |
| Rank | 4 | 2 | 1 | 3 |

และจากตารางที่ 4.25 สรุปได้ว่า ปัจจัยที่มีผลต่อค่าเฉลี่ยความลึกของร่องเรียงลำดับจากน้อยไปหามาก คือ ปัจจัย C, B, D และ A ตามลำดับของ Rank

ค่า Rank จะถูกเรียงลำดับมาจากค่าผลกระทบที่เกิดขึ้นจากระดับต่างๆ ของปัจจัย ซึ่งค่าผลกระทบที่มีค่ามากจะถูกจัดอยู่ใน Rank ลำดับต้นๆ ซึ่งอธิบายได้ว่า ปัจจัยที่อยู่ใน Rank ต้นๆ นั้นจะมีอิทธิพลต่อค่าเฉลี่ยของ S/N หรือ ค่าเฉลี่ยมากเช่นเดียวกัน โดยปัจจัยที่จะใช้เป็นตัวแปรการปรับค่า (Adjustment Factor or Adjustment Variable) นั้นจะต้องเป็น ปัจจัยที่ไม่มีอิทธิพลต่อค่าเฉลี่ยของ S/N และต้องมีอิทธิพลต่อค่าเฉลี่ยเพียงอย่างเดียวเท่านั้น

1.1 การเลือกปัจจัยที่ใช้เป็นตัวแปรปรับค่าของค่าความลึกของร่อง

ตารางที่ 4.26

การเลือกปัจจัยที่ใช้ในการปรับค่าของค่าความลึกของร่อง

| ค่าเฉลี่ยของ S/N ความลึกของร่อง | | | ค่าเฉลี่ยความลึกของร่อง | | |
|---------------------------------|---------|--------|-------------------------|---------|--------|
| Rank (S/N) | ผลกระทบ | ปัจจัย | Rank (Avg) | ผลกระทบ | ปัจจัย |
| 1 | 6.39 | B | 1 | 7.074 | C |
| 2 | 6.06 | C | 2 | 6.834 | B |
| 3 | 4.53 | A | 3 | 2.215 | D |
| 4 | 3.76 | D | 4 | 1.524 | A |

จากตารางที่ 4.26 พบว่า ปัจจัย D (ช่องว่าง) เหมาะสมที่สุดในการเลือกเป็นปัจจัยที่ใช้ในการปรับค่า เนื่องจากปัจจัย D เป็นปัจจัยที่มีผลต่อค่าเฉลี่ยเพียงอย่างเดียวและไม่มีผลต่อค่าเฉลี่ยของ S/N ซึ่งมีค่าผลกระทบอยู่ใน Rank (S/N) ที่ 4 โดยจะเห็นได้ว่า ปัจจัย B และปัจจัย C มีผลต่อค่าเฉลี่ยของ S/N เนื่องจากมีค่าผลกระทบอยู่ใน Rank (S/N) ที่ 1 และ 2 ตามลำดับ ส่วนปัจจัย A นั้นไม่มีผลต่อค่าเฉลี่ยความลึกของร่อง เนื่องจากมีค่าผลกระทบอยู่ใน Rank (Avg) ที่ 4 จึงไม่ถูกนำมาพิจารณาเป็นตัวแปรปรับค่า

ดังนั้น จึงทำการกำหนดระดับที่เหมาะสมของปัจจัย B, C และ A ณ จุดที่ทำให้ค่าเฉลี่ยของ S/N มีค่าสูงสุด (ตามตารางที่ 4.24) จะได้

B ควรกำหนดไว้ที่ระดับที่ 3 (Max S/N = 57.82)

C ควรกำหนดไว้ที่ระดับที่ 3 (Max S/N = 57.15)

A ควรกำหนดไว้ที่ระดับที่ 3 (Max S/N = 55.36)

สำหรับปัจจัย D จะสามารถคำนวณค่าจากสมการประมาณค่าซึ่งจะได้กล่าวในหัวข้อที่ 3 ต่อไป

2. ค่าอัตราส่วนของร่องจากวิธีการออกแบบของทาภูชิ

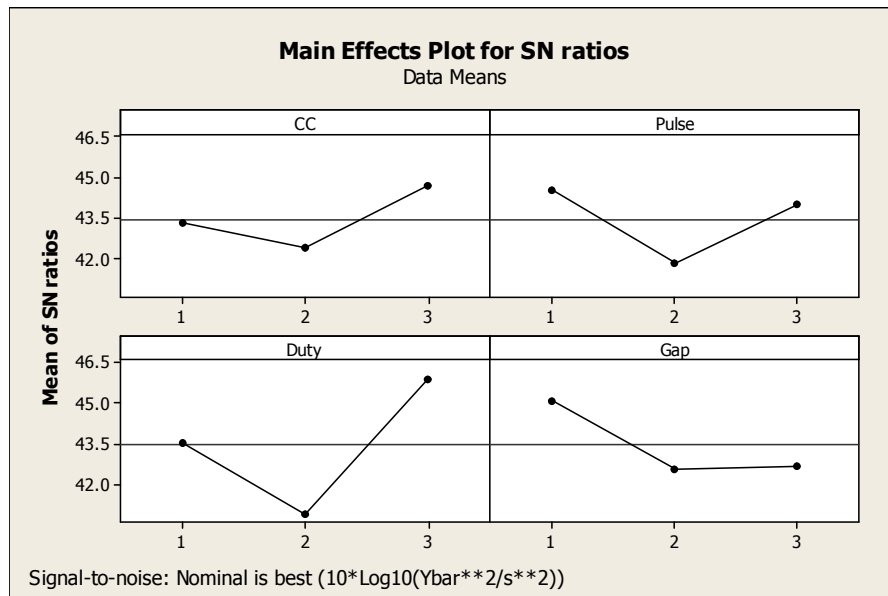
ค่าอัตราส่วนของร่องที่ได้จากวิธีการออกแบบของทาภูชิ แสดงดังตารางที่ 4.25

ตารางที่ 4.27

ค่าอัตราส่วนของร่องที่ได้จากวิธีการออกแบบของทาภูชิ

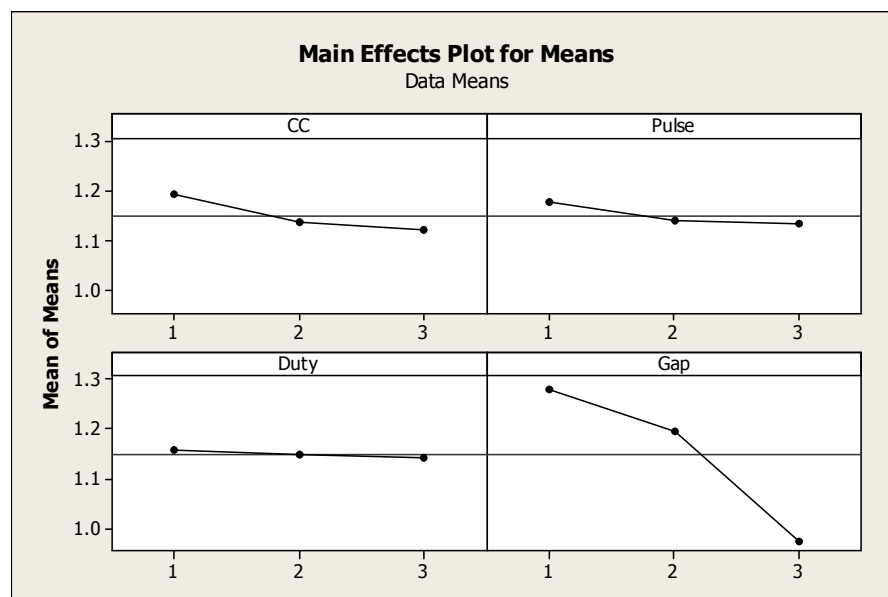
| ลำดับ การทดลอง | ค่าอัตราส่วนของร่อง (Ratio) | | | S/N Ratio | ค่าเฉลี่ย |
|-------------------|-----------------------------|------|------|-----------|-----------|
| | R1 | R2 | R3 | | |
| 1 | 1.36 | 1.35 | 1.34 | 42.6067 | 1.35000 |
| 2 | 1.25 | 1.23 | 1.20 | 33.7582 | 1.22667 |
| 3 | 1.00 | 1.01 | 1.00 | 44.8001 | 1.00333 |
| 4 | 1.22 | 1.23 | 1.24 | 41.7981 | 1.23000 |
| 5 | 0.97 | 0.93 | 0.94 | 33.1557 | 0.946667 |
| 6 | 1.23 | 1.22 | 1.22 | 46.5221 | 1.22333 |
| 7 | 1.29 | 1.30 | 1.29 | 47.0054 | 1.29333 |
| 8 | 1.16 | 1.16 | 1.17 | 46.0853 | 1.16333 |
| 9 | 0.94 | 0.93 | 0.94 | 44.2029 | 0.936667 |
| 10 | 1.05 | 1.06 | 1.05 | 45.2225 | 1.05333 |
| 11 | 1.32 | 1.33 | 1.32 | 47.2046 | 1.32333 |
| 12 | 1.20 | 1.20 | 1.19 | 46.3307 | 1.19667 |
| 13 | 0.97 | 0.98 | 0.98 | 44.5661 | 0.976667 |
| 14 | 1.25 | 1.24 | 1.25 | 46.6862 | 1.24667 |
| 15 | 1.18 | 1.20 | 1.19 | 41.5109 | 1.19000 |
| 16 | 1.17 | 1.16 | 1.16 | 46.0853 | 1.16333 |
| 17 | 0.92 | 0.93 | 0.92 | 44.0784 | 0.923333 |
| 18 | 1.24 | 1.26 | 1.24 | 40.6656 | 1.24667 |

นำผลการทดลองไปวิเคราะห์หาความแปรปรวนโดยใช้โปรแกรม Minitab version 14.0 สามารถแสดงผลปัจจัยหลักที่มีอิทธิพลต่อค่าเฉลี่ยอัตราส่วนของร่องและปัจจัยหลักที่มีอิทธิพลหลักของต่อค่าเฉลี่ย Signal-to-Noise Ratio (S/N) ของปัจจัย ดังภาพที่ 4.21 และ 4.22



ภาพที่ 4.21

อิทธิพลหลักของค่าเฉลี่ย Signal-to-Noise Ratio (S/N) แต่ละปัจจัยของอัตราส่วนของร่อง



ภาพที่ 4.22

อิทธิพลหลักของค่าเฉลี่ยอัตราส่วนของร่องแต่ละปัจจัย

ตารางที่ 4.28

ค่าเฉลี่ยของ S/N อัตราส่วนของร่อง ณ ระดับต่างๆ ของปัจจัย

| ปัจจัย | A | B | C | D |
|------------|--------------------|------------------------|-----------------------------------|-------------------|
| | กระแสไฟฟ้า (CC) | สัญญาณพัลส์ (Pulse) | อัตราการทำงานต่อ คาบเวลา(Duty) | ช่องว่าง (Gap) |
| ระดับที่ 1 | 43.32 | 44.55 | 43.57 | 45.12 |
| ระดับที่ 2 | 42.37 | 41.83 | 40.91 | 42.59 |
| ระดับที่ 3 | 44.69 | 44.01 | 45.90 | 42.67 |
| ผลกระทบ | 2.31 | 2.71 | 4.99 | 2.52 |
| Rank | 4 | 2 | 1 | 3 |

จากตารางที่ 4.28 สรุปได้ว่า ปัจจัยที่มีผลต่อค่า Signal-to-Noise Ratio (S/N) ของอัตราส่วนของร่อง คือปัจจัย C, B, D และ A ตามลำดับของ Rank

ตารางที่ 4.29

ค่าเฉลี่ยอัตราส่วนของร่อง ณ ระดับต่างๆ ของปัจจัย

| ปัจจัย | A | B | C | D |
|------------|--------------------|------------------------|-----------------------------------|-------------------|
| | กระแสไฟฟ้า (CC) | สัญญาณพัลส์ (Pulse) | อัตราการทำงานต่อ คาบเวลา(Duty) | ช่องว่าง (Gap) |
| ระดับที่ 1 | 1.1922 | 1.1778 | 1.1589 | 1.2806 |
| ระดับที่ 2 | 1.1356 | 1.1383 | 1.1478 | 1.1950 |
| ระดับที่ 3 | 1.1211 | 1.1328 | 1.1422 | 0.9733 |
| ผลกระทบ | 0.0711 | 0.0450 | 0.0167 | 0.3072 |
| Rank | 2 | 3 | 4 | 1 |

และจากตารางที่ 4.29 สรุปได้ว่า ปัจจัยที่มีผลต่อค่าเฉลี่ยอัตราส่วนของร่อง เรียงลำดับจากน้อยไปหามาก คือ ปัจจัย D, A, B และ C ตามลำดับของ Rank

2.1 การเลือกปัจจัยที่ใช้เป็นตัวแปรการปรับค่าของค่าอัตราส่วนของร่อง

ตารางที่ 4.30

การเลือกปัจจัยที่ใช้ในการปรับค่าของค่าอัตราส่วนของร่อง

| ค่าเฉลี่ยของ S/N อัตราส่วนของร่อง | | | ค่าเฉลี่ยอัตราส่วนของร่อง | | |
|-----------------------------------|---------|--------|---------------------------|---------|--------|
| Rank(S/N) | ผลกระทบ | ปัจจัย | Rank(Avg) | ผลกระทบ | ปัจจัย |
| 1 | 4.99 | C | 1 | 0.3072 | D |
| 2 | 2.71 | B | 2 | 0.0711 | A |
| 3 | 2.52 | D | 3 | 0.0450 | B |
| 4 | 2.31 | A | 4 | 0.0167 | C |

จากตารางที่ 4.30 พบว่า ปัจจัย D (ช่องว่าง) เหมาะสมที่สุดในการเลือกเป็นปัจจัยที่ใช้ในการปรับค่า เนื่องจากปัจจัย D เป็นปัจจัยที่ไม่มีผลต่อค่าเฉลี่ยของ S/N ซึ่งมีค่าผลกระทบอยู่ใน Rank (S/N) ที่ 3 และค่าเฉลี่ยอัตราส่วนของร่องมีค่าผลกระทบอยู่ใน Rank (Avg) ที่ 1 นั้นหมายความว่าปัจจัย D เป็นปัจจัยที่มีผลต่อค่าเฉลี่ยอัตราส่วนของร่องเพียงอย่างเดียวเท่านั้น

ดังนั้นจึงทำการกำหนดค่าที่เหมาะสมของปัจจัย C, B และ A ณ จุดที่ทำให้ค่าเฉลี่ยของ S/N มีค่าสูงสุด (ตามตารางที่ 4.27) จะได้

C ควรกำหนดไว้ที่ระดับที่ 3 (Max S/N = 45.90)

B ควรกำหนดไว้ที่ระดับที่ 1 (Max S/N = 44.55)

A ควรกำหนดไว้ที่ระดับที่ 3 (Max S/N = 44.69)

สำหรับปัจจัย D จะสามารถคำนวณค่าจากสมการประมาณค่าซึ่งจะได้กล่าวในหัวข้อที่ 3 ต่อไป

3. การประมาณค่าสมการค่าเฉลี่ย

จากการกำหนดค่าที่เหมาะสมของปัจจัยสำหรับค่าอัตราส่วนของร่องพบว่า จำเป็นต้องเปลี่ยนระดับของปัจจัย B จากการกำหนดค่าที่เหมาะสมของปัจจัยสำหรับค่าความลึกของร่องที่กำหนดไว้ก่อนหน้านี้ จากเดิมกำหนดไว้ที่ระดับที่ 3 เปลี่ยนเป็นระดับที่ 1 เพื่อให้สอดคล้องกับการกำหนดค่าที่เหมาะสมของปัจจัยสำหรับค่าอัตราส่วนของร่อง เนื่องจาก ดังตารางที่ 4.23 ลำดับการทดลองที่ 16 จะพบว่า เมื่อระดับของปัจจัย A = 3, B = 1 และ C = 3 จะทำให้ค่าเฉลี่ยความลึกของร่องเท่ากับ 10.530 ซึ่งมีค่าใกล้เคียงเป้าหมายที่ 10 μm มากที่สุด

ดังนั้นจึงทำการกำหนดค่าที่เหมาะสมของปัจจัย A, B และ C ในการประมาณค่าสมการค่าเฉลี่ยเพื่อปรับค่าปัจจัย D ให้ได้ค่าเฉลี่ยของความลึกของร่องมีค่าเท่ากับ 10 μm และค่าอัตราส่วนของร่องมีค่าเท่ากับ 1 ดังนี้

C กำหนดไว้ที่ระดับที่ 3 (Max S/N (Depth) = 55.36, Max S/N(Ratio) = 45.90)

B กำหนดไว้ที่ระดับที่ 1 (3rd S/N (Depth) = 51.43, Max S/N(Ratio) = 44.55)

A กำหนดไว้ที่ระดับที่ 3 (Max S/N (Depth) = 57.15, Max S/N(Ratio) = 44.69)

สมการประมาณค่าสามารถกำหนดได้ดังนี้

$$\therefore \hat{\mu}_y = \bar{T} + \hat{\alpha} + \hat{\xi} + \hat{\phi}$$

| | | | |
|--------|----------------|-----|---------------------------------------|
| โดยที่ | $\hat{\mu}_y$ | แทน | ผลตอบสนองเฉลี่ย |
| | $\hat{\alpha}$ | แทน | ผลกระทบอันเกิดจากระดับของปัจจัย C |
| | $\hat{\xi}$ | แทน | ผลกระทบอันเกิดจากระดับของปัจจัย B |
| | $\hat{\phi}$ | แทน | ผลกระทบอันเกิดจากระดับของปัจจัย D |
| | \bar{T} | แทน | ค่าเฉลี่ยรวมจากระดับของปัจจัย C และ B |

หมายเหตุ : ปัจจัย A นั้นไม่มีผลต่อค่าเฉลี่ย S/N และค่าเฉลี่ยของทั้งค่าความลึกของร่องและค่าอัตราส่วนของร่อง จึงไม่ถูกนำมาพิจารณาในสมการประมาณค่า

การประมาณค่าสมการค่าเฉลี่ย เพื่อปรับค่าปัจจัย D ให้ได้ค่าเฉลี่ยของความลึกของร่องมีค่าเท่ากับ 10 μm สามารถกำหนดได้ดังนี้

$$\therefore \hat{\mu}_y = \bar{T} + (\bar{C}_3 - \bar{T}) + (\bar{B}_1 - \bar{T}) + (\bar{D}_7 - \bar{T})$$

$$\bar{T} = \frac{(\bar{C}_1 + \bar{C}_2 + \bar{C}_3) + (\bar{B}_1 + \bar{B}_2 + \bar{B}_3)}{6} = \frac{31.741 + 31.742}{6} = 10.58$$

โดยที่ \bar{T} = ค่าเฉลี่ยรวมของความลึกของร่อง

อ่านค่า \bar{C}_3 และ \bar{B}_1 จากตารางที่ 4.25

$$\begin{aligned}\therefore 10 &= \bar{C}_3 + \bar{B}_1 + \bar{D}_7 - 2\bar{T} \\ &= 14.105 + 7.144 + \bar{D}_7 - 2(10.58) \\ \bar{D}_7 &= 9.912\end{aligned}$$

จากตารางที่ 4.25 ปัจจัย D ระดับที่ 3 มีค่าใกล้เคียงกับ 9.912 มากที่สุด

การประมาณค่าสมการค่าเฉลี่ย เพื่อปรับค่าปัจจัย D ให้ได้ค่าเฉลี่ยของอัตราส่วนของร่องมีค่าเท่ากับ 1 สามารถกำหนดได้ดังนี้

$$\begin{aligned}\therefore \hat{\mu}_y &= \bar{T} + (\bar{C}_3 - \bar{T}) + (\bar{B}_1 - \bar{T}) + (\bar{D}_7 - \bar{T}) \\ \bar{T} &= \frac{(\bar{C}_1 + \bar{C}_2 + \bar{C}_3) + (\bar{B}_1 + \bar{B}_2 + \bar{B}_3)}{6} = \frac{3.4489 + 3.4489}{6} = 1.15\end{aligned}$$

โดยที่ \bar{T} = ค่าเฉลี่ยรวมของอัตราส่วนของร่อง

อ่านค่า \bar{C}_3 และ \bar{B}_1 จากตารางที่ 4.29

$$\begin{aligned}\therefore 1 &= \bar{C}_3 + \bar{B}_1 + \bar{D}_7 - 2\bar{T} \\ &= 1.1422 + 1.1778 + \bar{D}_7 - 2(1.15) \\ \bar{D}_7 &= 0.979\end{aligned}$$

จากตารางที่ 4.29 ปัจจัย D ระดับที่ 3 มีค่าใกล้เคียงกับ 0.979 มากที่สุด

จากการประมาณค่าสมการค่าเฉลี่ย เพื่อปรับค่าปัจจัย D ให้ได้ค่าเฉลี่ยของความลึกของร่องมีค่าเท่ากับ 10 μm และค่าอัตราส่วนของร่องมีค่าเท่ากับ 1 พบว่า ระดับของปัจจัยค่าเฉลี่ยของความลึกของร่องและค่าอัตราส่วนของร่องสอดคล้องกัน กล่าวคือ ระดับที่เหมาะสมที่สุดอยู่ระหว่าง ระดับที่ 3 จึงสรุปได้ว่าค่าที่เหมาะสมสำหรับกระบวนการ คือ

ปัจจัย A ควรกำหนดไว้ระดับที่ 3 (กระแสไฟฟ้า 10 A)

ปัจจัย B ควรกำหนดไว้ระดับที่ 1 (สัญญาณพัลส์ 10 สัญญาณ)

ปัจจัย C ควรกำหนดไว้ระดับที่ 3 (อัตราการทำงานต่อคาบเวลา 40%)

ปัจจัย D ควรกำหนดไว้ระดับที่ 3 (ช่องว่าง 60 μm)

4. การวิเคราะห์การถดถอย (Regression Analysis)

หลังจากการประมาณค่าสมการค่าเฉลี่ยเพื่อกำหนดค่าที่เหมาะสมของปัจจัยสำหรับค่าความลึกของร่องและอัตราส่วนของร่องได้แล้วนั้น จะทำการวิเคราะห์เพิ่มเติมในส่วนของการวิเคราะห์การถดถอยซึ่งจะออกมาในรูปของสมการพยากรณ์ ($\hat{Y} = f(x)$) เพื่อพยากรณ์ค่าความสัมพันธ์ระหว่างค่าความลึกและอัตราส่วนของร่องต่อปัจจัยหลัก อันได้แก่ กระแสไฟฟ้า สัญญาณพัลส์ อัตราการทำงานต่อคาบเวลาและช่องว่าง โดยจะใช้การวิเคราะห์การถดถอยเชิงพหุ (Multiple Regression Analysis) กำหนดรูปแบบความสัมพันธ์ ตัวอย่างความสัมพันธ์อาจกำหนดได้ ดังนี้

$$Y = \beta_0 + \beta_1 X_1 + \beta_2 X_2 + \beta_3 X_3 + \dots + \beta_k X_k + \varepsilon$$

| | | |
|------------------------|-----|-------------|
| Y | คือ | ค่าตอบสนอง |
| X_1, X_2, \dots, X_k | คือ | ตัวแปรอิสระ |
| ε | คือ | ความผิดพลาด |

จากตารางที่ ข-2 ในภาคผนวก ข สมการพยากรณ์สำหรับค่าความลึกของร่อง โดยโปรแกรมสำเร็จรูปทางสถิติได้ผลลัพธ์ ดังนี้

$$Depth = - 11.6 + 0.762xCC + 0.683x Pulse + 0.354xDuty - 0.111xGap$$

จากตารางที่ ข-3 ในภาคผนวก ข สมการพยากรณ์สำหรับค่าอัตราส่วนของร่อง โดยโปรแกรมสำเร็จรูปทางสถิติได้ผลลัพธ์ ดังนี้

$$Ratio = 2.33 - 0.0356xCC - 0.00450xPulse - 0.00083xDuty - 0.0154xGap$$

จากการกำหนดระดับที่เหมาะสมสำหรับกระบวนการ คือ กระแสไฟฟ้า 10 A, สัญญาณพัลส์ 10 สัญญาณ, อัตราการทำงานต่อคาบเวลา 40% และ ช่องว่าง 60 μm แทนค่าลงในสมการสำหรับการพยากรณ์ค่าความลึกของร่องและค่าอัตราส่วนของร่อง จะได้ดังนี้

$$\text{Depth} = -11.6 + 0.762 \times 10 + 0.683 \times 10 + 0.354 \times 40 - 0.111 \times 60 = 10.35$$

$$\text{Ratio} = 2.33 - 0.0356 \times 10 - 0.00450 \times 10 - 0.00083 \times 40 - 0.0154 \times 60 = 0.972$$

สำหรับค่าความลึกของร่องและค่าอัตราส่วนของร่องที่ได้จากสมการจะเป็นค่าสำหรับพยากรณ์ในการทดลองเพื่อยืนยันผล ในการตรวจสอบค่าเฉลี่ยความลึกของร่องและค่าเฉลี่ยอัตราส่วนของร่องใกล้เคียงเป้าหมายมากที่สุดหรือไม่

4.3 ผลการทดลองและการวิเคราะห์ข้อมูลในส่วนของทดลองเพื่อยืนยันผล

การทดลองเพื่อยืนยันผลเป็นการทดลองเพื่อทำการพิสูจน์ว่า ค่าที่กำหนดที่เหมาะสมสำหรับกระบวนการเป็นค่าที่ดีที่สุดจริงในการที่จะให้ได้ค่าเฉลี่ยของความลึกของร่องมีค่าเท่ากับ 10 μm และค่าเฉลี่ยอัตราส่วนของร่องมีค่าเท่ากับ 1 โดยการเปรียบเทียบระดับที่ได้จากการวิจัยกับระดับที่ใช้อยู่ในปัจจุบัน ซึ่งมีรายละเอียดดังตารางที่ 4.31

ตารางที่ 4.31

ระดับของกระบวนการปัจจุบันและจากการวิจัย

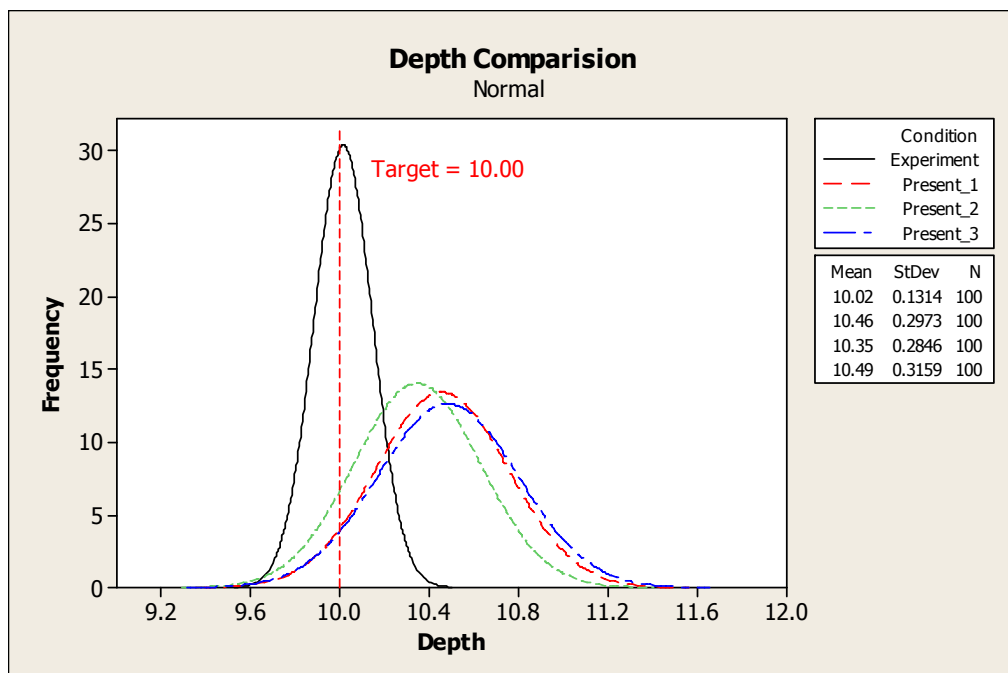
| ปัจจัย | | ระดับจากการวิจัย | ระดับปัจจุบัน | | | หน่วย |
|--------|-------------------------|------------------|---------------|-----------|-----------|------------------|
| | | | Experiment | Present_1 | Present_2 | |
| A | กระแสไฟฟ้า | 10 | 9.5 | 10 | 9.5 | A |
| B | สัญญาณพัลส์ | 10 | 16 | 17 | 19 | สัญญาณ/ 100ms |
| C | อัตราการทำงานต่อคาบเวลา | 40 | 30 | 30 | 25 | % |
| D | ช่องว่าง | 60 | 55 | 60 | 50 | μm |

4.3.1 การวิเคราะห์ข้อมูลเพื่อยืนยันผลของค่าเฉลี่ยของความลึกของร่อง

ตารางที่ 4.32

ข้อมูลทางสถิติความลึกของร่องระหว่างระดับของกระบวนการปัจจุบันและจากการวิจัย

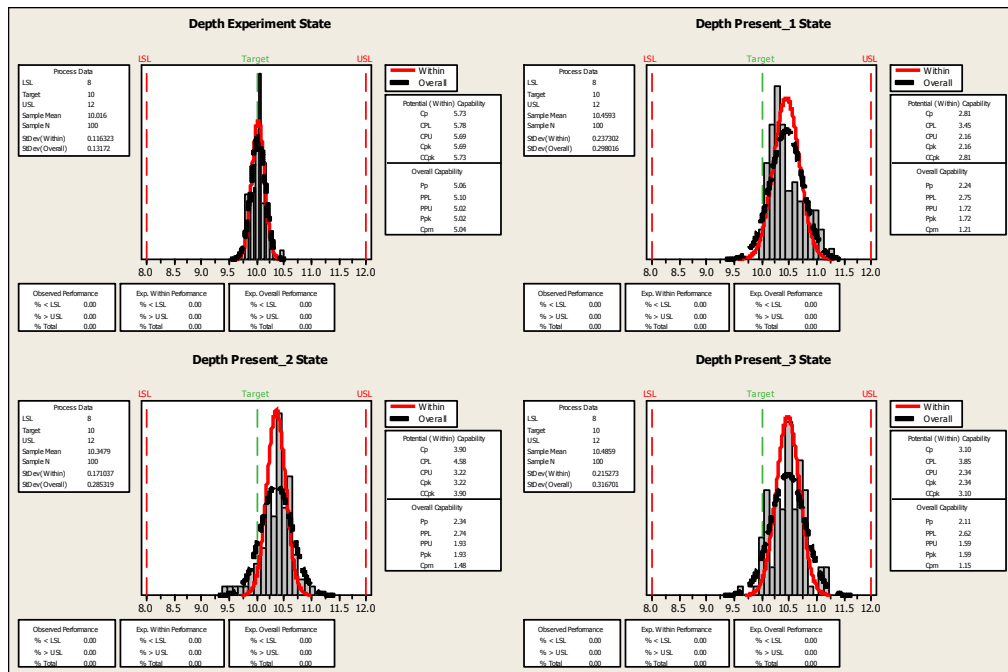
| Condition | | N | Mean | StDev | Cpk |
|------------------|------------|-----|-------|-------|------|
| ระดับจากการวิจัย | Experiment | 100 | 10.02 | 0.131 | 5.69 |
| ระดับปัจจุบัน | Present_1 | 100 | 10.46 | 0.297 | 2.16 |
| | Present_2 | 100 | 10.35 | 0.284 | 3.22 |
| | Present_3 | 100 | 10.49 | 0.316 | 1.59 |



ภาพที่ 4.23

ฮิสโตแกรมแสดงค่าเฉลี่ยความลึกของร่องระหว่าง
ระดับที่ได้จากการวิจัยกับระดับที่ใช้อยู่ในปัจจุบัน

จากภาพที่ 4.23 แสดงค่าเฉลี่ยความลึกของร่องระหว่างระดับที่ได้จากการวิจัยซึ่งเป็นสภาวะที่ดีที่สุดกับระดับที่ใช้อยู่ในปัจจุบันถูกวิเคราะห์เปรียบเทียบกันโดยฮิสโตแกรม



ภาพที่ 4.24

ชีสโตรแกรมแสดงค่าความสามารถของกระบวนการ (Cpk) ความลึกของร่อง
ระหว่างระดับที่ได้จากการวิจัยกับระดับที่ใช้อยู่ในปัจจุบัน

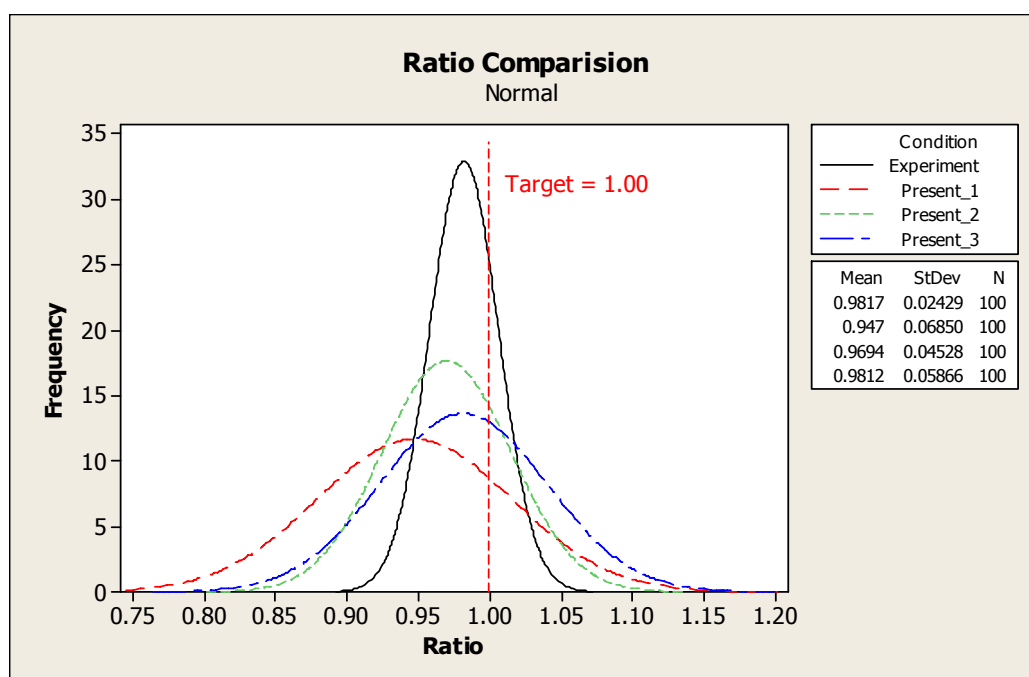
ข้อมูลทางสถิติในตารางที่ 4.32 พบว่า ค่าเฉลี่ยความลึกของร่องที่ได้จากการวิจัยมีค่าใกล้เคียงกับเป้าหมายที่ค่าเฉลี่ยความลึกของร่องเท่ากับ 10 μm มากที่สุด โดยมีค่าเฉลี่ยความลึกของร่องที่ 10.02 μm นอกจากนี้ระดับที่ได้จากการวิจัยยังสามารถลดความแปรปรวนของค่าความลึกของร่องที่เกิดขึ้นในกระบวนการได้ โดยมีค่าความแปรปรวนเท่ากับ 0.131 และภาพที่ 4.25 เป็นการแสดงค่าความสามารถของกระบวนการ (Cpk) ของระดับที่ได้จากการวิจัย ซึ่งจะพบว่า ค่า Cpk มีค่ามากกว่าระดับปัจจุบัน โดยมีค่าเท่ากับ 5.69 ซึ่งแสดงให้เห็นถึงประสิทธิภาพของกระบวนการที่เพิ่มมากขึ้น อันจะนำไปสู่การลดอัตราการสูญเสียที่เกิดขึ้นในกระบวนการได้ โดยที่มีความผิดพลาดจากสมการพยากรณ์ค่าเฉลี่ยความลึกของร่องที่ 10.35 เท่ากับ 3.3%

4.3.2 การวิเคราะห์ข้อมูลเพื่อยืนยันผลของค่าเฉลี่ยของอัตราส่วนของร่อง

ตารางที่ 4.33

ข้อมูลทางสถิติอัตราส่วนของร่องระหว่างระดับของกระบวนการปัจจุบันและจากการวิจัย

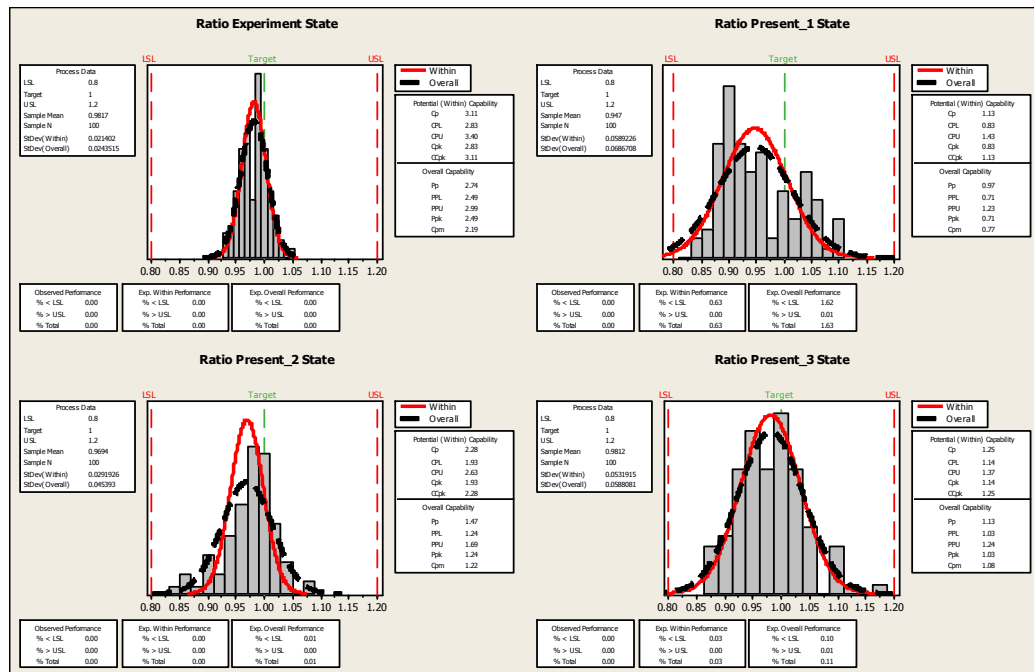
| Condition | | N | Mean | StDev | Cpk |
|------------------|------------|-----|-------|--------|------|
| ระดับจากการวิจัย | Experiment | 100 | 0.981 | 0.0242 | 2.83 |
| ระดับปัจจุบัน | Present_1 | 100 | 0.947 | 0.0685 | 0.83 |
| | Present_2 | 100 | 0.969 | 0.0452 | 1.93 |
| | Present_3 | 100 | 0.981 | 0.0586 | 1.14 |



ภาพที่ 4.25

ฮิสโตแกรมแสดงค่าเฉลี่ยอัตราส่วนของร่องระหว่าง
ระดับที่ได้จากการวิจัยกับระดับที่ใช้อยู่ในปัจจุบัน

จากภาพที่ 4.25 แสดงค่าเฉลี่ยอัตราส่วนของร่องระหว่างระดับที่ได้จากการวิจัยซึ่งเป็นสภาวะที่ดีที่สุดกับระดับที่ใช้อยู่ในปัจจุบันถูกวิเคราะห์เปรียบเทียบกันโดยฮิสโตแกรม



ภาพที่ 4.26

สี่สโตรแกรมแสดงค่าความสามารถของกระบวนการ (Cpk) อัตราส่วนของร่อง
ระหว่างระดับที่ได้จากการวิจัยกับระดับที่ใช้อยู่ในปัจจุบัน

ข้อมูลทางสถิติในตารางที่ 4.33 พบว่า ค่าเฉลี่ยอัตราส่วนของร่องที่ได้จากการวิจัยมีค่าใกล้เคียงกับเป้าหมายที่ค่าเฉลี่ยอัตราส่วนของร่องเท่ากับ 1 มากที่สุด โดยมีค่าเฉลี่ยอัตราส่วนของร่องที่ 0.981 นอกจากนี้ระดับที่ได้จากการวิจัยยังสามารถลดความแปรปรวนของค่าอัตราส่วนของร่องที่เกิดขึ้นในกระบวนการได้ โดยมีค่าความแปรปรวนเท่ากับ 0.0242 และภาพที่ 4.26 เป็นการแสดงค่าความสามารถของกระบวนการ (Cpk) ของระดับที่ได้จากการวิจัย ซึ่งจะพบว่า ค่า Cpk มีค่ามากกว่าระดับปัจจุบัน โดยมีค่าเท่ากับ 2.83 ซึ่งแสดงให้เห็นถึงประสิทธิภาพของกระบวนการที่เพิ่มมากขึ้น อันจะนำไปสู่การลดอัตราการสูญเสียที่เกิดขึ้นในกระบวนการได้ โดยที่มีความผิดพลาดจากสมการพยากรณ์ค่าเฉลี่ยอัตราส่วนของร่องที่ 0.972 เท่ากับ 0.9%